

INTRODUCTION

Couplages Multiphysiques dans ABAQUS

Couplage THERMIQUE-MECANIQUE

Couplage THERMIQUE-ELECTRIQUE

Couplage DIFFUSION-MECANIQUE

Indirect : (module TH-M)

Milieux Poreux

Couplage ELECTRIQUE-MECANIQUE

Piézoélectrique

PREMIER VOLET

COUPLAGE THERMIQUE MECANIQUE

COUPLAGE THERMIQUE MECANIQUE

Phénomènes de couplage

Thermique → Mécanique : **Dilatation volumique**

Mécanique → Thermique : **Dilatation volumique**

Thermique → Mécanique : **Rigidité variable**

Mécanique → Thermique : **Effets variables**

Mécanique → Thermique : **Irréversibilités (plast. endo)**

Thermique → Mécanique : **Accélération irréversibilités**

- PAPON P., LEBLOND J., *Thermodynamique des états de la matière*, Hermann, Paris, 1990
- SKOCZYLA F., SHAHROUR I., HENRY J.P., *Etude numérique du couplage thermohydro-mécanique dans les roches. Influence des termes de couplage non-linéaires pour un matériau isotrope linéaire*, Revue de l'Institut Français du Pétrole, vol. 47, n°1, p. 45-55, 1992
- SALENCON J., *Mécanique des milieux continus - II. Elasticité - Milieux curvilignes*, Ellipses, 1988
- VIDAL C., DEWEL G., BORCKMANS P., *Au delà de l'équilibre*, Hermann, Paris, 1994
- MUNSTER A., *Thermodynamique des processus irréversibles*, Bibliothèque des Sciences et Techniques Nucléaires, 1966
- GERMAIN P., NGUYEN Q.S., SUQUET P., *Continuum thermodynamics*, Journal of Applied Mechanics, vol. 50, p. 1010-1020, 1953
- BESSON J., CAILLETAUD G., CHABOCHE J.L., FOREST S., *Mécanique non-linéaire des matériaux*, Hermès Science Publications, 2001
- BATAILLE J. et KESTIN J., L'interprétation physique de la thermodynamique rationnelle, Journal de Mécanique, vol. 14, n° 2, pp. 365-384 (1975).
- BOWEN R. M., Mixtures and EM Field theories, In continuum physics vol. III, A. C. Eringen Ed., Academic Press, New-York (1976).
- COLEMAN, B.D., GURTIN, M.E., 1967. Thermodynamics with internal state variables. J. Chem. Phys., 47, 2, 597-613.
- PRIGOGINE, I. and KONDEPUDI D., *Thermodynamique: des moteurs thermiques aux structures dissipatives*. Editions Odile Jacob ed. 1999.
- LARCHE F., CAHN J.W., A Nonlinear Theory of Thermochemical Equilibrium of Solids Under Stress. Acta Metallurgica, 26 (1978) 53-60.
- GIBBS J.W., On the Equilibrium of Heterogeneous Substances. The Scientific Papers of W.J. Gibbs, 1 (1906) 55-349.
- TRUESDELL C., Rational Thermodynamics. Springer, New York, 1984.
- LUSTIG S.R., CARUTHERS J.M., PEPPAS N.A., Continuum Thermodynamics and Transport Properties for Polymer-Fluid Mixtures. Chemical Engineering Science, 47 (1992) 3037-3057.
- WEITSMAN Y., Stress Assisted Diffusion in Elastic and Viscoelastic Materials. Journal of the Mechanics and Physics of Solids, 35 (1987) 73-93.
- De GROOT S.R., Thermodynamics of Irreversible Processes. Interscience, New York, 1951.
- CASIMIR H.B.G., On Onsager's Principle of Microscopic Reversibility. Rev. Mod. Phys., 17 (1945) 343-350.
- MAUGIN G.A., The Thermomechanics of Nonlinear Irreversible Behaviors. World Scientific, 1999.
- STRUTT J.W. (Lord Rayleigh), Theory of Sound, Dover, New York, 1945.
- LEBON G., JOU D., CASAS-VASQUEZ J., Understanding Non-Equilibrium Thermodynamics. Springer-Verlag, Berlin, 2008.
- GIGLIOTTI M., GRANDIDIER J-C, Chemo-Mechanics Couplings in Polymer Matrix Materials Exposed to Thermo-Oxidative Environments", Comptes Rendus Mécanique, Volume 338, Issue 3, March 2010, Pages 164-175., Auteurs :

COUPLAGE THERMIQUE MECANIQUE

Equations de bilans

- Le bilan mécanique - l'équation du mouvement

Euler : $\vec{\text{div}} \underline{\underline{\sigma}} + \rho \vec{f} = \rho \vec{\gamma}$

Lagrange : $\text{Div}(\underline{\underline{F}} \underline{\underline{S}}) + \rho_0 \vec{f} = \rho_0 \vec{\gamma}$

$\underline{\underline{\sigma}}(\underline{\underline{S}})$ tenseur des contraintes d'Euler (de Piola-Kirchhoff), \vec{f} densité massique de force,
 $\vec{\gamma}$ accélération moyenne, $\underline{\underline{F}}$ gradient de la transformation.

- Le Premier Principe - la conservation de l'énergie totale

Euler : $\rho \frac{du}{dt} = \underline{\underline{D}} : \underline{\underline{\sigma}} - \text{div} \vec{J}_q + r$

Lagrange : $\rho_0 \frac{dU}{dt} = \underline{\underline{S}} : \frac{d\underline{\underline{E}}}{dt} - \text{Div} \vec{Q} + R$

$u(U)$ énergie interne spécifique, $\underline{\underline{D}}(\frac{d\underline{\underline{E}}}{dt})$ taux de déformation, $\vec{J}_q(\vec{Q})$ courant de chaleur,
 $r(R)$ source thermique dans la configuration actuelle (ramenés à la configuration initiale).

Energie interne évolue par apport/retrait de :

- Mécanique
- Flux de chaleur
- Rayonnement

COUPLAGE THERMIQUE MECANIQUE

Energie interne et Entropie

Euler : $\frac{du}{dt} = T \frac{ds}{dt} + \frac{1}{\rho} \underline{\underline{\sigma}} : \underline{\underline{D}}^e - \sum_{j=1}^n A_j \frac{d\xi_j}{dt}$

$U(s, E^e, \xi)$: l'état interne

- Organisation interne
- Déformation élastique
- Variables internes

Lagrange : $\frac{dU}{dt} = T \frac{dS}{dt} + \frac{1}{\rho_0} \underline{\underline{S}} : \frac{d\underline{\underline{E}}^e}{dt} - \sum_{j=1}^n A_j \frac{d\xi_j}{dt}$

↓
Energie élastique que l'on peut stocker et restituer

$s(S)$ entropie spécifique, $\underline{\underline{D}}^e(\frac{d\underline{\underline{E}}^e}{dt})$ taux de déformation élastique,

$\xi_j(\xi_j)$ variable interne,

A_j affinité associée dans la configuration actuelle (initiale).

COUPLAGE THERMIQUE MECANIQUE

Variables internes

- ξ_j (ξ_j) variable interne

Variables locales > description de l'état du système

Physiquement : c'est compliqué

Mécanicien : schématiser au mieux les phénomènes physiques

Endommagement

Plasticité

Viscosité

A_j affinité : la Force interne qui fait évoluer ces variables internes

Structures mathématique : scalaire / vecteurs / tenseurs....

COUPLAGE THERMIQUE MECANIQUE

Energie libre ψ

$$\text{Euler : } \frac{du}{dt} = T \frac{ds}{dt} + \frac{1}{\rho} \underline{\underline{\sigma}} : \underline{\underline{D}}^e - \sum_{j=1}^n A_j \frac{d\xi_j}{dt}$$

$$\frac{du}{dt} - T \frac{ds}{dt} = \frac{1}{\rho} \underline{\underline{\sigma}} : \underline{\underline{D}}^e - \sum_{j=1}^n A_j \frac{d\xi_j}{dt}$$

$$\frac{du}{dt} - T \frac{ds}{dt} - s \frac{dT}{dt} = -s \frac{dT}{dt} + \frac{1}{\rho} \underline{\underline{\sigma}} : \underline{\underline{D}}^e - \sum_{j=1}^n A_j \frac{d\xi_j}{dt}$$

$$\frac{d\psi}{dt} = -s \frac{dT}{dt} + \frac{1}{\rho} \underline{\underline{\sigma}} : \underline{\underline{D}}^e - \sum_{j=1}^n A_j \frac{d\xi_j}{dt} \text{ avec } \psi = u - T s$$

COUPLAGE THERMIQUE MECANIQUE

Lois d'état

Lagrange :

$$\underline{\underline{S}} = \rho_0 \left(\frac{\partial \Psi}{\partial \underline{\underline{E}}^e} \right)_{T, \xi_j}, \quad S = - \left(\frac{\partial \Psi}{\partial T} \right)_{\underline{\underline{E}}^e, \xi_j}, \quad A_j = - \left(\frac{\partial \Psi}{\partial \xi_j} \right)_{T, \underline{\underline{E}}^e, \xi_{k \neq j}}$$

En petites transformations :

$$\underline{\underline{\sigma}} = \rho \left(\frac{\partial \Psi}{\partial \underline{\underline{\epsilon}}^e} \right)_{T, \xi_j}, \quad s = - \left(\frac{\partial \Psi}{\partial T} \right)_{\underline{\underline{\epsilon}}^e, \xi_j}, \quad A_j = - \left(\frac{\partial \Psi}{\partial \xi_j} \right)_{T, \underline{\underline{\epsilon}}^e, \xi_{k \neq j}}$$

$\psi(\Psi)$ énergie libre spécifique, $\underline{\underline{\epsilon}}^e$ tenseur des déformations linéarisées.

COUPLAGE THERMIQUE MECANIQUE

Dissipation – Second Principe

Lagrange : $\Phi = \Phi_1 + \Phi_2 \geq 0$

$$\Phi_1 = \underline{\underline{S}} : \frac{d\underline{\underline{E}}^p}{dt} + \rho_0 \sum_{j=1}^n A_j \frac{d\xi_j}{dt}$$

$$\Phi_2 = - \vec{J}_s \cdot \text{Grad } T$$

L'origine des dissipations :

- Mécanique
- Variables internes
- Gradient thermique

Euler : $\varphi = \varphi_1 + \varphi_2 \geq 0$

$$\varphi_1 = \underline{\underline{\sigma}} : \underline{\underline{D}}^p + \rho \sum_{j=1}^n A_j \frac{d\xi_j}{dt}, \quad \varphi_2 = - \vec{J}_s \cdot \text{grad} T$$

$\varphi(\Phi)$ dissipation volumique, $\varphi_1(\Phi_1)$ part intrinsèque

$\varphi_2(\Phi_2)$ contribution liée au gradient thermique. $\vec{J}_s = \frac{1}{T} \vec{Q}$ avec \vec{Q} le flux de chaleur

INSTITUT P

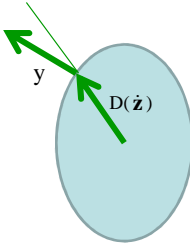
GDR-3371 MTC
Saint-Étienne, France

COUPLAGE THERMIQUE MECANIQUE

Lois complémentaires d'évolution

$$\Phi_1 = \underline{\underline{S}} : \frac{d\underline{\underline{E}}^p}{dt} + \rho_0 \sum_{j=1}^n A_j \frac{d\underline{\xi}_j}{dt}, \quad \Phi_2 = - \vec{J}_S \cdot \text{Grad } T$$

Générique : produit de forces thermodynamique généralise avec des flux:

$$\Phi = \mathbf{y} \cdot \dot{\mathbf{z}} \geq 0$$


Lord Rayleigh, suppose l'existence d'une Fonctionnelle de dissipation,

$D(\dot{\mathbf{z}})$ dépendant des flux généralisés et par transformation de Legendre-Frenchel,

$D^*(\mathbf{y})$, une fonction de forces généralisées. Alors les lois reliant force et flux sont déduites :

$$\mathbf{y} = \frac{\partial D}{\partial \dot{\mathbf{z}}} \quad \text{ou} \quad \dot{\mathbf{z}} = \frac{\partial D^*}{\partial \mathbf{y}}$$

D doit être Convexe+ non négatif (origine contenue) > Loi de normalité > second principe

INSTITUT P

GDR-3371 MTC
Saint-Étienne, France

COUPLAGE THERMIQUE MECANIQUE

Lois complémentaires d'évolution

Dans la TIP (Thermodynamique des Processus Irréversibles)

on suppose que le matériau est *proche de l'équilibre* – alors il est raisonnable de supposer que les forces et les flux sont reliées par une relation affine homogène comme suit :

$$\dot{\mathbf{z}} = \mathbf{L} \cdot \mathbf{y}$$

où \mathbf{L} est un tenseur non singulier symétrique

Dans plusieurs domaines de la physique on a une justification expérimentale (Casimir, 1945).

Alors finalement l'expression de la dissipation Φ dans ce cadre se présente sous la forme :

$$\Phi = \mathbf{y} \cdot \mathbf{L} \cdot \mathbf{y} \geq 0$$

H.B.G. Casimir, On Onsager's Principle of Microscopic Reversibility. Rev. Mod. Phys, 17 (1945) 343-350

COUPLAGE THERMIQUE MECANIQUE

Lois complémentaires d'évolution

▸ Couplage entre les trois phénomènes dissipatifs :

Lagrange :

$$\frac{d\underline{\underline{E}}^p}{dt} = \left(\frac{\partial \mathbf{D}^*}{\partial \underline{\underline{S}}} \right)_{\rho_0 A_j, -\vec{\text{Grad}}T} \quad \frac{d\underline{\xi}_j}{dt} = \left(\frac{\partial \mathbf{D}^*}{\partial [\rho_0 A_j]} \right)_{\underline{\underline{S}}, \rho_0 A_{k \neq j}, -\vec{\text{Grad}}T} \quad \vec{J}_s = \left(\frac{\partial \mathbf{D}^*}{\partial [-\vec{\text{Grad}} T]} \right)_{\underline{\underline{S}}, \rho_0 A_j}$$

Euler :

$$\underline{\underline{D}}^p = \left(\frac{\partial d^*}{\partial \underline{\underline{\sigma}}} \right)_{\rho A_j, -\vec{\text{grad}}T} \quad \frac{d\underline{\xi}_j}{dt} = \left(\frac{\partial d^*}{\partial [\rho A_j]} \right)_{\underline{\underline{\sigma}}, \rho A_{k \neq j}} \quad \vec{J}_s = \left(\frac{\partial d^*}{\partial [-\vec{\text{grad}} T]} \right)_{\underline{\underline{\sigma}}, \rho A_j}$$

Potentiel dual de dissipation :

- Rappel avec ce potentiel qui possède les bonnes propriétés on vérifie le second principe

COUPLAGE THERMIQUE MECANIQUE

Lois complémentaires d'évolution

▸ Découplage total :

Lagrange :

$$\frac{d\underline{\underline{E}}^p}{dt} = \left(\frac{\partial \mathbf{D}_1^*}{\partial \underline{\underline{S}}} \right)_{\rho_0 A_j} \quad \frac{d\underline{\xi}_j}{dt} = \left(\frac{\partial \mathbf{D}_1^*}{\partial [\rho_0 A_j]} \right)_{\underline{\underline{S}}, \rho_0 A_{k \neq j}} \quad \vec{J}_s = \left(\frac{\partial \mathbf{D}_2^*}{\partial [-\vec{\text{Grad}} T]} \right)$$

Euler :

$$\underline{\underline{D}}^p = \left(\frac{\partial d_1^*}{\partial \underline{\underline{\sigma}}} \right)_{\rho A_j} \quad \frac{d\underline{\xi}_j}{dt} = \left(\frac{\partial d_1^*}{\partial [\rho A_j]} \right)_{\underline{\underline{\sigma}}, \rho A_{k \neq j}} \quad \vec{J}_s = \left(\frac{\partial d_2^*}{\partial [-\vec{\text{grad}} T]} \right)$$

$d^*, d_i^* (\mathbf{D}^*, \mathbf{D}_i^*)$ autant de potentiel de dissipation que de phénomène.

COUPLAGE THERMIQUE MECANIQUE

Lois complémentaires d'évolution

- Les lois complémentaires générales d'évolution

- Couplage entre les trois phénomènes dissipatifs :

Lagrange :

$$\frac{d\underline{E}^p}{dt} = \left(\frac{\partial \mathbf{D}^*}{\partial \underline{S}} \right)_{\rho_o A_j, -\text{Grad}T} \quad \frac{d\underline{\xi}_j}{dt} = \left(\frac{\partial \mathbf{D}^*}{\partial [\rho_o A_j]} \right)_{\underline{S}, \rho_o A_{k \neq j}, -\text{Grad}T} \quad \vec{J}_s = \left(\frac{\partial \mathbf{D}^*}{\partial [-\text{Grad}T]} \right)_{\underline{S}, \rho_o A_j}$$

Euler

$$\underline{D}^p = \left(\frac{\partial d^*}{\partial \underline{\sigma}} \right)_{\rho A_j, -\text{grad}T} \quad \frac{d\underline{\xi}_j}{dt} = \left(\frac{\partial d^*}{\partial [\rho A_j]} \right)_{\underline{\sigma}, \rho A_{k \neq j}} \quad \vec{J}_s = \left(\frac{\partial d^*}{\partial [-\text{grad}T]} \right)_{\underline{\sigma}, \rho A_j}$$

Un seul potentiel qui dépend des trois quantités

COUPLAGE THERMIQUE MECANIQUE

Equation de la chaleur

- Le Premier Principe - la conservation de l'énergie totale

Par exemple Lagrange : $\rho_o \frac{dU}{dt} = \underline{S} : \frac{d\underline{E}}{dt} - \text{Div} \vec{Q} + R$

- L'énergie libre spécifique et énergie interne

Par exemple Lagrange : $\frac{d\underline{\psi}}{dt} = \frac{dU}{dt} - T \frac{dS}{dt} - S \frac{dT}{dt} = \frac{dU}{dt} - S \frac{dT}{dt} + \frac{1}{\rho_o} \underline{S} : \frac{d\underline{E}^c}{dt} - \sum_{j=1}^n A_j \frac{d\underline{\xi}_j}{dt}$

Et on a $\frac{dU}{dt} = \frac{d\underline{\psi}}{dt} + T \frac{dS}{dt} + S \frac{dT}{dt} = T \frac{dS}{dt} + \frac{1}{\rho_o} \underline{S} : \frac{d\underline{E}^c}{dt} - \sum_{j=1}^n A_j \frac{d\underline{\xi}_j}{dt}$

- L'équation de bilan de la chaleur

Par exemple Lagrange : $\rho_o \left(T \frac{dS}{dt} + \frac{1}{\rho_o} \underline{S} : \frac{d\underline{E}^c}{dt} - \sum_{j=1}^n A_j \frac{d\underline{\xi}_j}{dt} \right) = \underline{S} : \frac{d\underline{E}}{dt} - \text{Div} \vec{Q} + R$

Ou encore : $\rho_o T \frac{dS}{dt} = \underline{S} : \frac{d\underline{E}^p}{dt} - \text{Div} \vec{Q} + R + \rho_o \sum_{j=1}^n A_j \frac{d\underline{\xi}_j}{dt}$

COUPLAGE THERMIQUE MECANIQUE

Equation de la chaleur

- Le Premier Principe - la conservation de l'énergie totale

Par exemple Lagrange : $\rho_0 \frac{dU}{dt} = \underline{S} : \frac{d\underline{E}}{dt} - \text{Div} \vec{Q} + R$

- L'énergie libre spécifique et énergie interne

Par exemple Lagrange : $\frac{d\Psi}{dt} = \frac{dU}{dt} - T \frac{dS}{dt} - S \frac{dT}{dt} = \frac{dU}{dt} - S \frac{dT}{dt} + \frac{1}{\rho_0} \underline{S} : \frac{d\underline{E}^c}{dt} - \sum_{j=1}^n A_j \frac{d\xi_j}{dt}$

Et on a $\frac{dU}{dt} = \frac{d\Psi}{dt} + T \frac{dS}{dt} + S \frac{dT}{dt} = T \frac{dS}{dt} + \frac{1}{\rho_0} \underline{S} : \frac{d\underline{E}^c}{dt} - \sum_{j=1}^n A_j \frac{d\xi_j}{dt}$

- L'équation de bilan de la chaleur

Par exemple Lagrange : $\rho_0 \left(T \frac{dS}{dt} + \frac{1}{\rho_0} \underline{S} : \frac{d\underline{E}^c}{dt} - \sum_{j=1}^n A_j \frac{d\xi_j}{dt} \right) = \underline{S} : \frac{d\underline{E}}{dt} - \text{Div} \vec{Q} + R$

Ou encore : $\rho_0 T \frac{dS}{dt} = \underline{S} : \frac{d\underline{E}^p}{dt} - \text{Div} \vec{Q} + R + \rho_0 \sum_{j=1}^n A_j \frac{d\xi_j}{dt}$

COUPLAGE THERMIQUE MECANIQUE

Equation de la chaleur

- L'équation de bilan de la chaleur

Par exemple Lagrange : $\rho_0 T \frac{dS}{dt} = \underline{S} : \frac{d\underline{E}^p}{dt} - \text{Div} \vec{Q} + R + \rho_0 \sum_{j=1}^n A_j \frac{d\xi_j}{dt}$

- Loi d'état

Par exemple Lagrange : $S = - \left(\frac{\partial \Psi}{\partial T} \right)_{\underline{E}^c, \xi_j}$

Donc : $\frac{dS}{dt} = - \left(\frac{\partial}{\partial T} \left(\frac{\partial \Psi}{\partial T} \right)_{\underline{E}^c, \xi_j} \right)_{\underline{E}^c, \xi_j} dT - \left(\frac{\partial}{\partial \underline{E}^c} \left(\frac{\partial \Psi}{\partial T} \right)_{\underline{E}^c, \xi_j} \right)_{T, \xi_j} : \frac{d\underline{E}^c}{dt} - \left(\frac{\partial}{\partial \xi_j} \left(\frac{\partial \Psi}{\partial T} \right)_{\underline{E}^c, \xi_j} \right)_{\underline{E}^c, T} \frac{d\xi_j}{dt}$

Que l'on peut réécrire comme suit en utilisant la propriété des dérivées partielles :

$\frac{dS}{dt} = - \left(\frac{\partial}{\partial T} \left(\frac{\partial \Psi}{\partial T} \right)_{\underline{E}^c, \xi_j} \right)_{\underline{E}^c, \xi_j} dT - \frac{1}{\rho_0} \left(\frac{\partial \underline{S}}{\partial T} \right) : \frac{d\underline{E}^c}{dt} + \left(\frac{\partial A_j}{\partial T} \right) \frac{d\xi_j}{dt}$

COUPLAGE THERMIQUE MECANIQUE

Equation de la chaleur

Loi d'état

$$\frac{dS}{dt} = - \left(\frac{\partial}{\partial T} \left(\frac{\partial \Psi}{\partial T} \right) \right)_{\underline{E}^e, \xi_j} dT - \frac{1}{\rho_0} \left(\frac{\partial S}{\partial T} \right) : \frac{d\underline{E}^e}{dt} + \left(\frac{\partial A_j}{\partial T} \right) \frac{d\xi_j}{dt}$$

L'équation de bilan de la chaleur

Par exemple Lagrange : $-\rho_0 T \left(\frac{\partial}{\partial T} \left(\frac{\partial \Psi}{\partial T} \right) \right)_{\underline{E}^e, \xi_j} dT - T \left(\frac{\partial S}{\partial T} \right) : \frac{d\underline{E}^e}{dt} + \rho_0 T \left(\frac{\partial A_j}{\partial T} \right) \frac{d\xi_j}{dt}$

Chaleur spécifique $= \underline{S} : \frac{d\underline{E}^p}{dt} - \text{Div} \vec{Q} + R + \rho_0 \sum_{j=1}^n A_j \frac{d\xi_j}{dt}$

$$-\rho_0 T \left(\frac{\partial}{\partial T} \left(\frac{\partial \Psi}{\partial T} \right) \right)_{\underline{E}^e, \xi_j} dT$$

$$= - \text{Div} \vec{Q} + R + T \left(\frac{\partial S}{\partial T} \right) : \frac{d\underline{E}^e}{dt} + \underline{S} : \frac{d\underline{E}^p}{dt} + \rho_0 \sum_{j=1}^n A_j \frac{d\xi_j}{dt} - \rho_0 T \left(\frac{\partial A_j}{\partial T} \right) \frac{d\xi_j}{dt}$$

COUPLAGE THERMIQUE MECANIQUE

Equations de couplage (Equation de la chaleur)

L'équation de la chaleur

Lagrange : Couplage avec la mécanique Couplage avec la mécanique
Partie élastique Partie irréversibilité

$$\rho_0 C_{\underline{E}^e, \xi_j} \frac{dT}{dt} = - \text{Div} \vec{Q} + R + T \left(\frac{\partial S}{\partial T} \right) : \frac{d\underline{E}^e}{dt} + \underline{S} : \frac{d\underline{E}^p}{dt} - \sum_{j=1}^n \rho_0 \left\{ T \left(\frac{\partial A_j}{\partial T} \right) - A_j \right\} \frac{d\xi_j}{dt}$$

Partie thermique classique

Petites transformations :

$$\rho C_{\underline{E}^e, \xi_j} \frac{dT}{dt} = - \text{div} \vec{J}_q + r + T \left\{ \left(\frac{\partial \sigma}{\partial T} \right)_{\underline{E}^e, \xi_j} - \frac{\sigma}{\rho} \left(\frac{\partial \rho}{\partial T} \right)_{\underline{E}^e, \xi_j} \right\} : \frac{d\underline{\varepsilon}^e}{dt} + \frac{d\underline{\varepsilon}^p}{dt} : \underline{\sigma} - \sum_{j=1}^n \rho \left\{ T \left(\frac{\partial A_j}{\partial T} \right)_{\underline{E}^e, \xi_j} - A_j \right\} \frac{d\xi_j}{dt}$$

$C_{\underline{E}^e, \xi_j}$ ($C_{\underline{E}^e, \xi_j}$) chaleur spécifique à déformation élastique

et variables internes constantes, \underline{E}^p ($\underline{\varepsilon}^p$) déformations inélastiques (linéarisées).

COUPLAGE THERMIQUE MECANIQUE

Equation de la chaleur

L'équation de la chaleur

Lagrange :

Couplage avec la mécanique
Partie élastique

Couplage avec la mécanique
Partie irréversibilité

$$\rho_0 C_{\underline{\underline{E}}^e, \underline{\underline{\xi}}_j} \frac{dT}{dt} = \text{Div} \vec{Q} + R + T \left(\frac{\partial S}{\partial T} \right)_{\underline{\underline{E}}^e, \underline{\underline{\xi}}_j} \frac{d\underline{\underline{E}}^e}{dt} + \eta \left\{ \underline{\underline{S}} : \frac{d\underline{\underline{E}}^p}{dt} - \sum_{j=1}^n \rho_0 \left\{ T \left(\frac{\partial \Lambda_j}{\partial T} \right)_{\underline{\underline{E}}^e, \underline{\underline{\xi}}_j} - \Lambda_j \right\} \frac{d\underline{\underline{\xi}}_j}{dt} \right\}$$

Partie thermique classique

Petites transformations :

$$\rho C_{\underline{\underline{E}}^e, \underline{\underline{\xi}}_j} \frac{dT}{dt} = - \text{div} \vec{J}_q + r + T \left\{ \left(\frac{\partial \sigma}{\partial T} \right)_{\underline{\underline{E}}^e, \underline{\underline{\xi}}_j} - \frac{\sigma}{\rho} \right\}$$

ABAQUS :
 Introduction d'un 'coefficient d'abattement'
 ≤ 1 (INELASTIC HEAT FRACTION)

$C_{\underline{\underline{E}}^e, \underline{\underline{\xi}}_j}$ ($C_{\underline{\underline{E}}^e, \underline{\underline{\xi}}_j}$) chaleur spécifique à déformation élastique
 et variables internes constantes, $\underline{\underline{E}}^p$ ($\underline{\underline{E}}^p$) déformations inélastiques (linéarisées).

COUPLAGE THERMIQUE MECANIQUE

Equations de couplage (Lois d'état) – Application THERMO-ELASTICITE en petites perturbations

Selon l'hypothèse d'élasticité, on écrit le potentiel thermodynamique sous la forme : $\Psi = \Psi(T, \underline{\underline{E}}^e)$.

· L'hypothèse de petites perturbations, des déformations infinitésimales par rapport à C_0
 et des petites variations thermiques ($T - T_0$), T_0 température initiale, alors l'expression de Ψ se simplifie :

$$\rho_0 \Psi(T, \underline{\underline{E}}^e) = \underline{\underline{S}}_0 : \underline{\underline{E}}^e - \rho_0 S_0 (T - T_0) + \frac{1}{2} \underline{\underline{E}}^e : \underline{\underline{C}} : \underline{\underline{E}}^e - \underline{\underline{\kappa}} : \underline{\underline{E}}^e (T - T_0) - \frac{1}{2} \frac{\rho_0}{T_0} C_{\underline{\underline{E}}^e} (T - T_0)^2,$$

où :

- ▶ $\underline{\underline{S}}_0$ désigne les contraintes initiales à déformation et écart thermique nuls par rapport à C_0
- ▶ S_0 représente l'entropie initiale à déformation et écart thermique nuls par rapport à C_0
- ▶ $\underline{\underline{C}}$ correspond au tenseur des modules d'élasticité liant à température constante les contraintes aux déformations
- ▶ $C_{\underline{\underline{E}}^e}$ chaleur spécifique à déformation constante
(identifiée à partir de l'expression de la variation d'entropie issue de la seconde loi d'état)
- ▶ $\underline{\underline{\kappa}}$ est le tenseur des coefficients thermiques.

Les lois d'état s'expriment alors sous la forme : **Termes de couplages**

$$\underline{\underline{S}} = \rho_0 \left(\frac{\partial \Psi}{\partial \underline{\underline{E}}^e} \right)_T = \underline{\underline{S}}_0 + \underline{\underline{C}} : \underline{\underline{E}}^e - \underline{\underline{\kappa}} (T - T_0) \quad \text{et} \quad S = - \left(\frac{\partial \Psi}{\partial T} \right)_{\underline{\underline{E}}^e} = S_0 + \frac{1}{\rho_0} \underline{\underline{\kappa}} : \underline{\underline{E}}^e + \frac{1}{T_0} C_{\underline{\underline{E}}^e} (T - T_0)$$

COUPLAGE THERMIQUE MECANIQUE

Equations de couplage (Lois d'état) – Application THERMO-ELASTICITE *isotrope* petites perturbations

L'hypothèse d'isotropie du matériau : Ψ s'exprime une forme linéaire des deux premiers invariants du tenseur des déformations élastiques et de l'écart thermique :

$$\rho_0 \Psi = S_0 \text{tr} \underline{\underline{E}}^e - \rho_0 S_0 (T - T_0) + \frac{\lambda}{2} (\text{tr} \underline{\underline{E}}^e)^2 + \mu \text{tr} (\underline{\underline{E}}^e)^2 - k \text{tr} \underline{\underline{E}}^e (T - T_0) - \frac{1}{2} \frac{\rho_0}{T_0} C_{E^e} (T - T_0)^2.$$

L'isotropie implique en effet également que :

$$\underline{\underline{S}}_0 = S_0 \underline{\underline{I}} \quad \text{et} \quad \underline{\underline{K}} = k \underline{\underline{I}} = (3\lambda + 2\mu) \alpha_T \underline{\underline{I}},$$

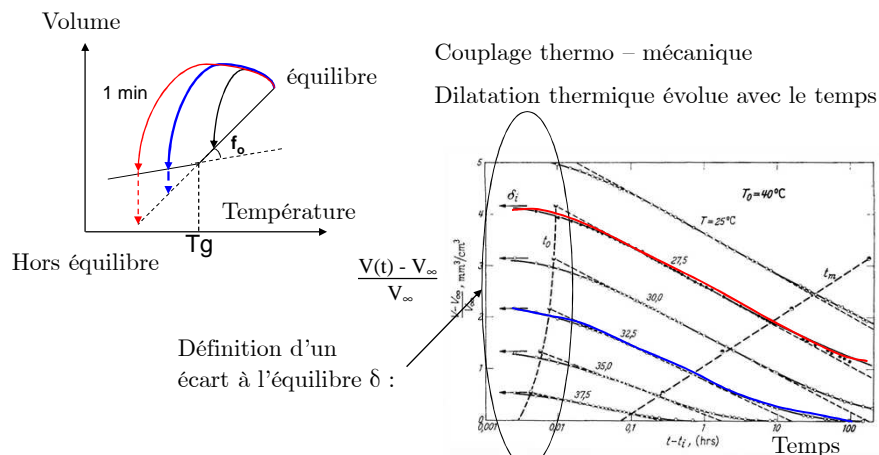
α_T étant le coefficient de dilatation thermique isotrope.

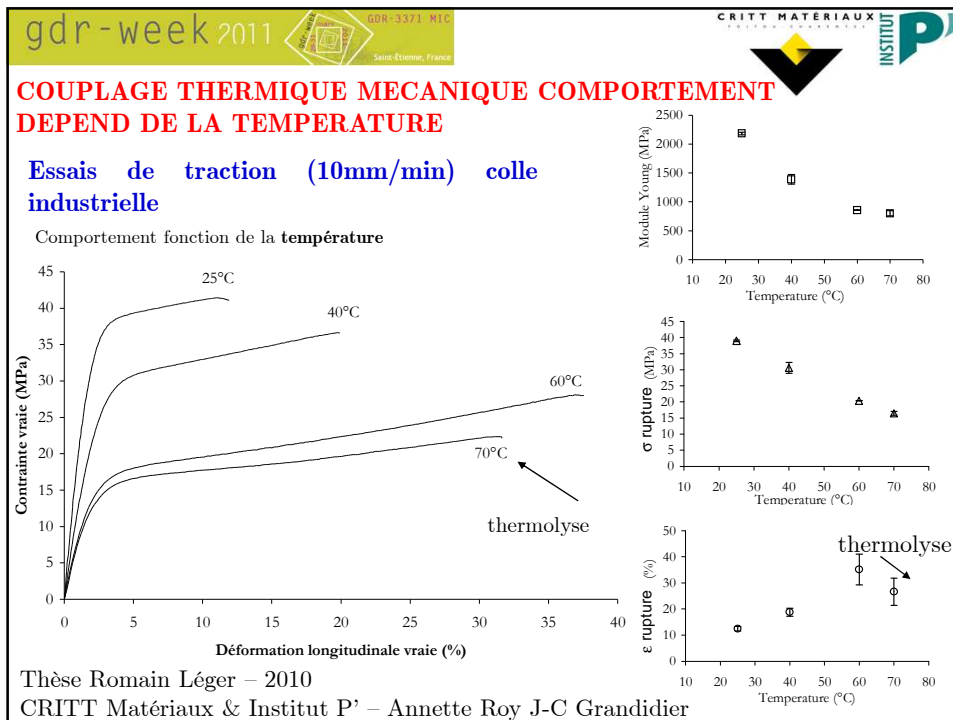
Les lois d'état se réécrivent par conséquent sous la forme : **Termes de couplages**


$$\begin{aligned} \cdot \underline{\underline{S}} &= \rho_0 \left(\frac{\partial \Psi}{\partial \underline{\underline{E}}^e} \right)_T = S_0 \underline{\underline{I}} + \lambda (\text{tr} \underline{\underline{E}}^e) \underline{\underline{I}} + 2\mu \underline{\underline{E}}^e - (3\lambda + 2\mu) \alpha_T (T - T_0) \underline{\underline{I}} \\ \cdot S &= - \left(\frac{\partial \Psi}{\partial T} \right)_{E^e} = S_0 + \frac{1}{\rho_0} (3\lambda + 2\mu) \alpha_T (\text{tr} \underline{\underline{E}}^e) + \frac{1}{T_0} C_{E^e} (T - T_0) \end{aligned}$$

COUPLAGE THERMIQUE MECANIQUE

- Dilatation thermique pas TOUJOURS SIMPLE
- Résultats typiques de relaxation structurale pour un échantillon de PVA trempé à partir de 40°C. [Kovacs, 1963]





gdr-week 2011  GDR-3371 MIC
Saint-Étienne, France

COUPLAGE THERMIQUE MECANIQUE

Equations de couplage (Lois d'état) – Applicat°
THERMO-ELASTICITE isotrope petites perturbations
à coefficients variables

Façon 'brutale' : Paramètres fonction
de T ou de la déformation

Du point de vue de la thermo > NON CONSISTANT

II FAUT REPRENDRE LES EQUATIONS

Pourquoi ? >> IL EN MANQUE

COUPLAGE THERMIQUE MECANIQUE

Equations de couplage (Lois d'état) – Applicat°

THERMO-ELASTICITE isotrope petites perturbations à coefficients variables

L'hypothèses : Isotropie du matériau et $\lambda = \lambda_0 - \lambda_p T$: Ψ s'exprime sous la forme suivante :

$$\rho_0 \Psi = S_0 \operatorname{tr} \underline{\underline{E}}^e - \rho_0 S_0 (T - T_0) + \frac{\lambda(T)}{2} (\operatorname{tr} \underline{\underline{E}}^e)^2 + \mu \operatorname{tr} (\underline{\underline{E}}^e)^2 - k \operatorname{tr} \underline{\underline{E}}^e (T - T_0) - \frac{1}{2} \frac{\rho_0}{T_0} \underline{\underline{C}}_{\underline{\underline{E}}^e} (T - T_0)^2.$$

L'isotropie implique en effet également que :

$$\underline{\underline{S}}_0 = S_0 \underline{\underline{I}} \quad \text{et} \quad \underline{\underline{K}} = k \underline{\underline{I}} = (3\lambda(T) + 2\mu) \alpha_T \underline{\underline{I}},$$

α_T étant le coefficient de dilatation thermique isotrope.

Les lois d'état se réécrivent par conséquent sous la forme :

Termes de couplages supplémentaires

$$\begin{aligned} \cdot \underline{\underline{S}} &= \rho_0 \left(\frac{\partial \Psi}{\partial \underline{\underline{E}}^e} \right)_T = S_0 \underline{\underline{I}} + \lambda(T) (\operatorname{tr} \underline{\underline{E}}^e) \underline{\underline{I}} + 2\mu \underline{\underline{E}}^e - (3\lambda(T) + 2\mu) \alpha_T (T - T_0) \underline{\underline{I}} \\ \cdot \underline{\underline{S}} &= - \left(\frac{\partial \Psi}{\partial T} \right)_{\underline{\underline{E}}^e} = S_0 + \frac{1}{\rho_0} (3\lambda + 2\mu) \alpha_T (\operatorname{tr} \underline{\underline{E}}^e) + \frac{1}{T_0} \underline{\underline{C}}_{\underline{\underline{E}}^e} (T - T_0) - \frac{\lambda_p}{2} (\operatorname{tr} \underline{\underline{E}}^e)^2 + 3\lambda_p \alpha_T \operatorname{tr} \underline{\underline{E}}^e (T - T_0) \end{aligned}$$

COUPLAGE THERMIQUE MECANIQUE

Equations de couplage (Lois d'état) – Applicat°

THERMO-PLASTICITE

Critère de Von Mises

La fonction de charge de type Von Mises correspondant à l'érouissage envisagé est définie dans le cas d'un couplage partiel entre phénomènes dissipatifs comme :

$$f(\underline{\underline{\sigma}}, \rho A, \rho \underline{\underline{X}}) = J(\underline{\underline{\sigma}} - \rho \underline{\underline{X}}) - (\rho A + R_0).$$

On obtient ainsi dans le cas d'un matériau isotrope les lois complémentaires d'évolution :

$$\begin{aligned} \underline{\underline{\dot{\epsilon}}}^p &= \Lambda \underline{\underline{n}}, \quad \dot{p} = -\Lambda, \quad \underline{\underline{\dot{\alpha}}} = -\underline{\underline{\dot{\epsilon}}}^p, \\ \vec{J}_s &= -k_T \vec{\operatorname{grad}} T \end{aligned}$$

COUPLAGE THERMIQUE MECANIQUE

Equations de couplage (Lois d'état) – Applicat° THERMO-PLASTICITE

La loi de comportement associée se résume quant à elle sous la forme :

$$\underline{\dot{\sigma}} = [\lambda(\text{tr } \underline{\dot{\epsilon}}) - (3\lambda+2\mu) \alpha_T \dot{T}] \underline{\underline{1}} + 2\mu [\underline{\dot{\epsilon}} - \Lambda \underline{\underline{n}}]$$

avec :

$$\underline{\underline{n}} = \frac{3}{2} \frac{\underline{\underline{\sigma}} - p \underline{\underline{X}}}{J(\underline{\underline{\sigma}} - p \underline{\underline{X}})} \quad \cdot F_T = -\rho \left[\left(\frac{\partial^2 R}{\partial T \partial p} \right) + \left(\frac{\partial Z}{\partial T} \right) \underline{\underline{n}} : \underline{\underline{\alpha}} \right]$$

► 1^{er} cas : $f = 0$ et $2\mu \underline{\underline{n}} : \underline{\dot{\epsilon}} - F_T \dot{T} \geq 0$

$$\Rightarrow \Lambda = \frac{2\mu \underline{\underline{n}} : \underline{\dot{\epsilon}} - F_T \dot{T} - F_Y \dot{Y}_g}{H + 3\mu} \quad \text{avec } H = \rho \left[\left(\frac{\partial^2 R}{\partial p^2} \right)_T + \frac{3}{2} Z(T) \right]$$

► 2^{ème} cas : $f < 0$ ou $f = 0$ et $2\mu \underline{\underline{n}} : \underline{\dot{\epsilon}} - F_T \dot{T} < 0$

$$\Rightarrow \Lambda = 0$$

COUPLAGE THERMIQUE MECANIQUE

Equations de couplage (Eq de la chaleur) – Application THERMO-PLASTICITE

Equation de la chaleur :

$$\rho C_{\underline{\underline{\epsilon}}^e, Y_i, p, \underline{\underline{\alpha}}} \frac{dT}{dt} = -\text{div } \vec{J}_q + r$$

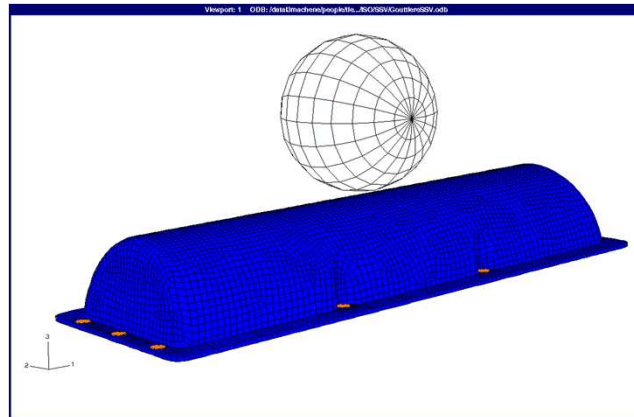
$$+ T \left\{ \left(\frac{\partial \underline{\underline{\sigma}}}{\partial T} \right)_{\underline{\underline{\epsilon}}^e, p, \underline{\underline{\alpha}}} - \frac{\underline{\underline{\sigma}}}{\rho} \left(\frac{\partial \rho}{\partial T} \right)_{\underline{\underline{\epsilon}}^e, p, \underline{\underline{\alpha}}} \right\} : \underline{\dot{\epsilon}}^e$$

Termes de couplages
dus à la plasticité

$$+ \underline{\dot{\epsilon}}^p : \underline{\underline{\sigma}} - \rho \left\{ T \left(\frac{\partial \Lambda}{\partial T} \right)_{\underline{\underline{\epsilon}}^e, p, \underline{\underline{\alpha}}} - \Lambda \right\} \dot{p} - \rho \left\{ T \left(\frac{\partial \underline{\underline{X}}}{\partial T} \right)_{\underline{\underline{\epsilon}}^e, p, \underline{\underline{\alpha}}} - \underline{\underline{X}} \right\} : \underline{\dot{\alpha}}$$

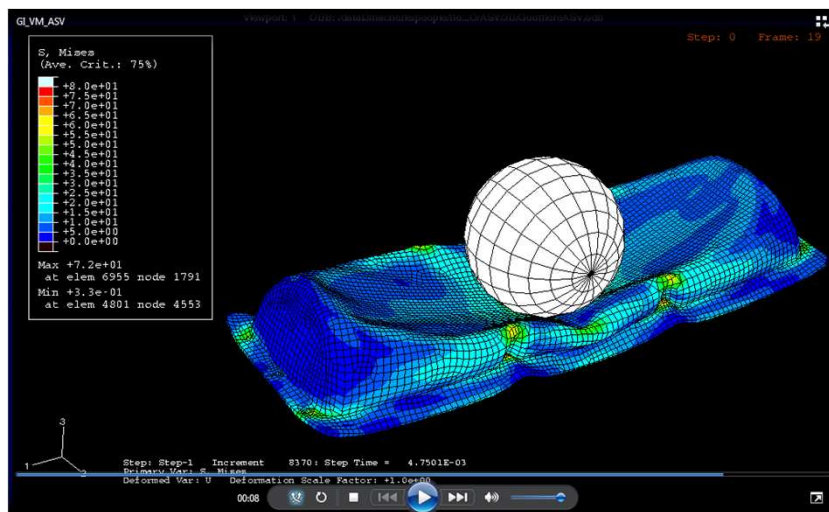
COUPLAGE THERMIQUE MECANIQUE

Un exemple un impact (sphère gouttière)
Auto échauffement

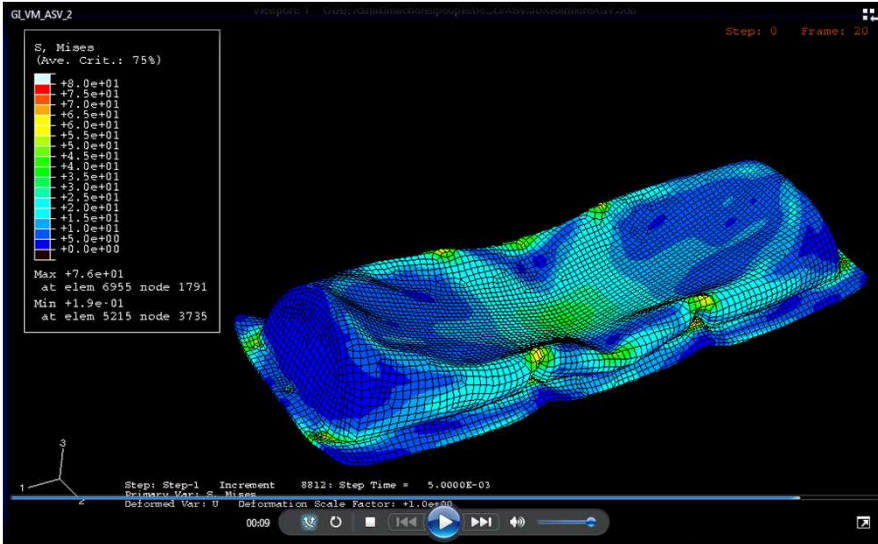


COUPLAGE THERMIQUE MECANIQUE

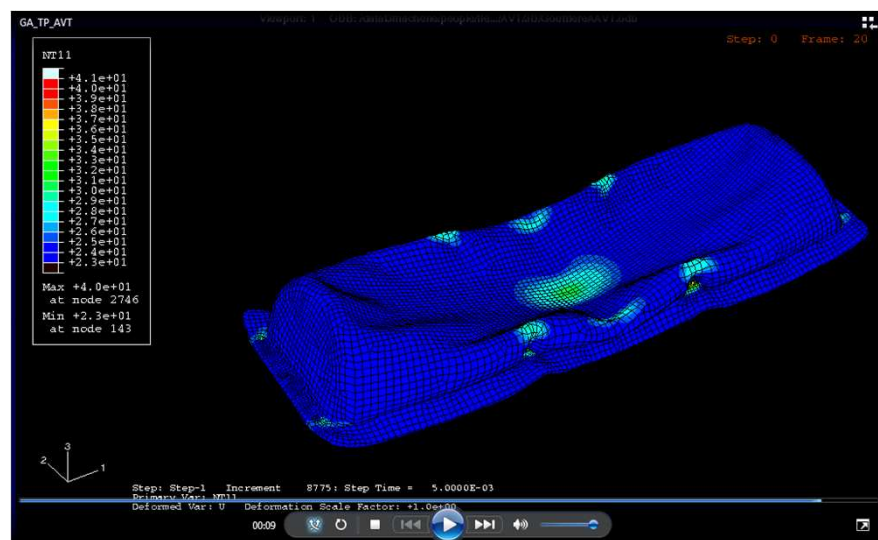
Un exemple



COUPLAGE THERMIQUE MECANIQUE

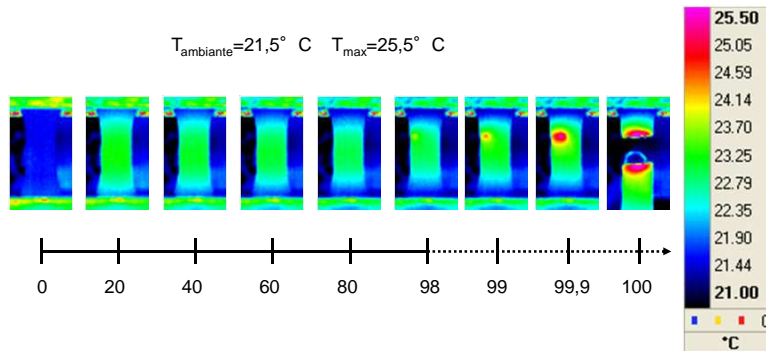


COUPLAGE THERMIQUE MECANIQUE



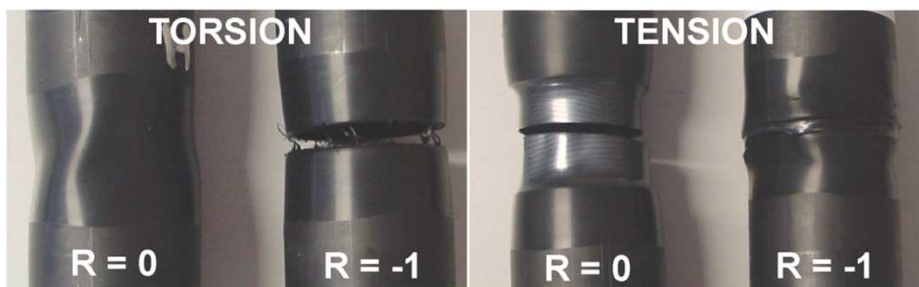
COUPLAGE THERMIQUE MECANIQUE

Un exemple Fatigue polymère fibres courtes
(endommagement)



Thèse Bert Klimkeit - 2009 Institut P' - S Castagnet - Y Nadot

Un exemple Fatigue polymères semi-cristallin
Instabilité thermo mécanique



Rapport de charge
(machine hydraulique de traction-torsion)

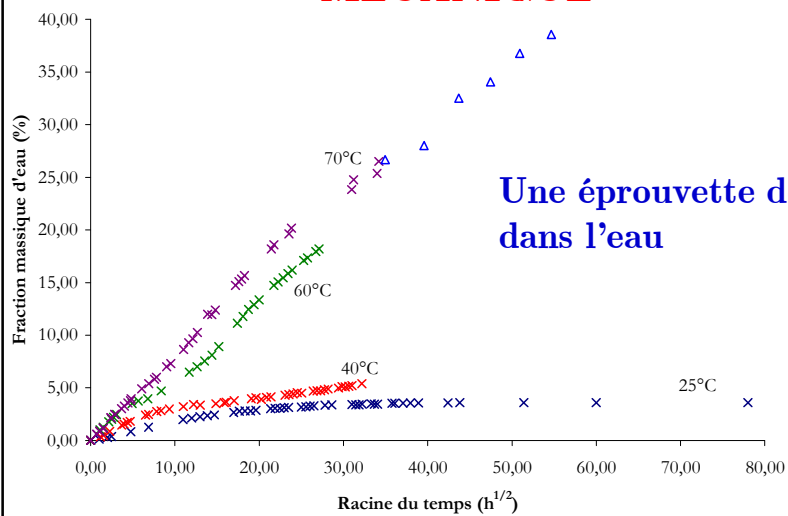
Dépendance des propriétés matériaux
à la température phénomène adoucissant

Thèse A. Berrehili - 2010 Institut P' - S Castagnet - Y Nadot

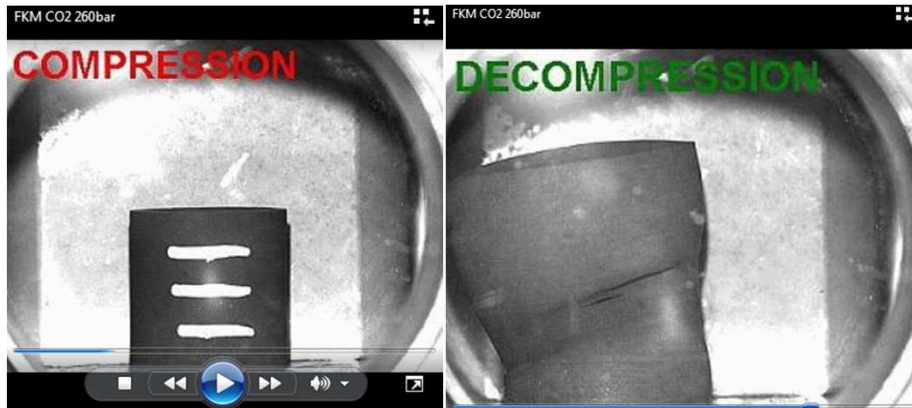
DEUXIEME VOLET

COUPLAGE THERMO DIFFUSO MECANIQUE

COUPLAGE THERMO DIFFUSO MECANIQUE



Elastomère sous CO₂ (vient de la biblio)

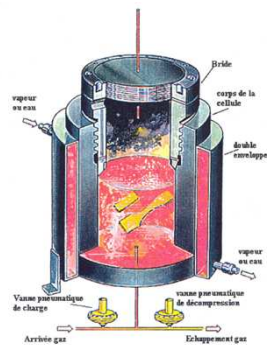


Banc Hycomat (Institut P')

Machine de fatigue hydraulique
Enceinte
Ambiante à 150°C
quelques bars à 400bars
dH₂ ou de CO₂ ou de N₂



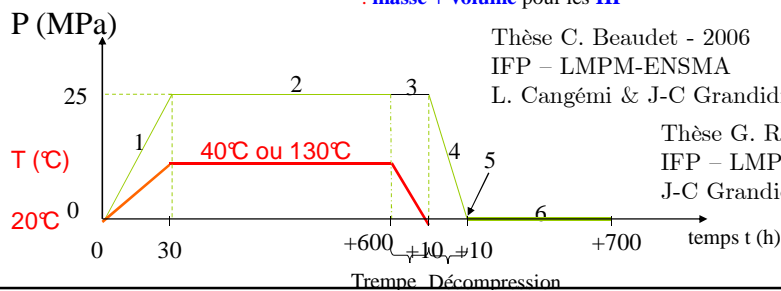
Elastomère sous CO₂ (Thèse J. Jaravel S. Castagnet & J-C Grandidier)



Géométrie des Éprouvettes en PVDF, (gaz=CO₂):

- pavé rectangulaire pour les basses P: 0.5, 1.5, 4 MPa
- anneau pour les hautes P: 25, 50, 100 MPa

1. Montée en P et T(40°C **BP**, 130°C **HP**) de l'enceinte
2. Saturation en gaz de l'échantillon à P consigne
3. Trempe de l'enceinte : chute de T → 20°C à P consigne
4. Décompression rapide du réacteur en 10 min
5. Ouverture du réacteur
6. Mesures au cours du temps à P_{atm} et T_{ambiante}
: **masse** pour les **BP**
: **masse + volume** pour les **HP**



Thèse C. Beudet - 2006
IFP - LMPM-ENSMA
L. Cangémi & J-C Grandidier



Thèse G. Rambert - 2002
IFP - LMPM-ENSMA
J-C Grandidier

DEWIMILLE B., MARTIN J., JARRIN J., *Behaviour of thermoplastic polymers during explosive decompression in a petroleum environment*, Journal de Physique IV, vol. 3, no. 7, p. 1559-1564, 1993

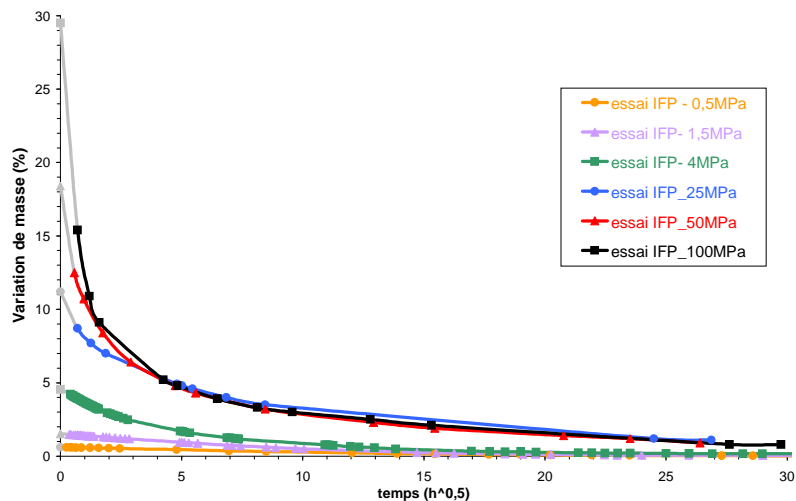
FLACONNECHE B., MARTIN J., KLOPFFER M.H., *Permeability, diffusion and solubility of gases in polyethylene, polyamide 11 and poly(vinylidene fluoride)*, Oil & Gas Science and Technology – Rev. IFP, vol. 56, n°3, p. 261-278, 2001

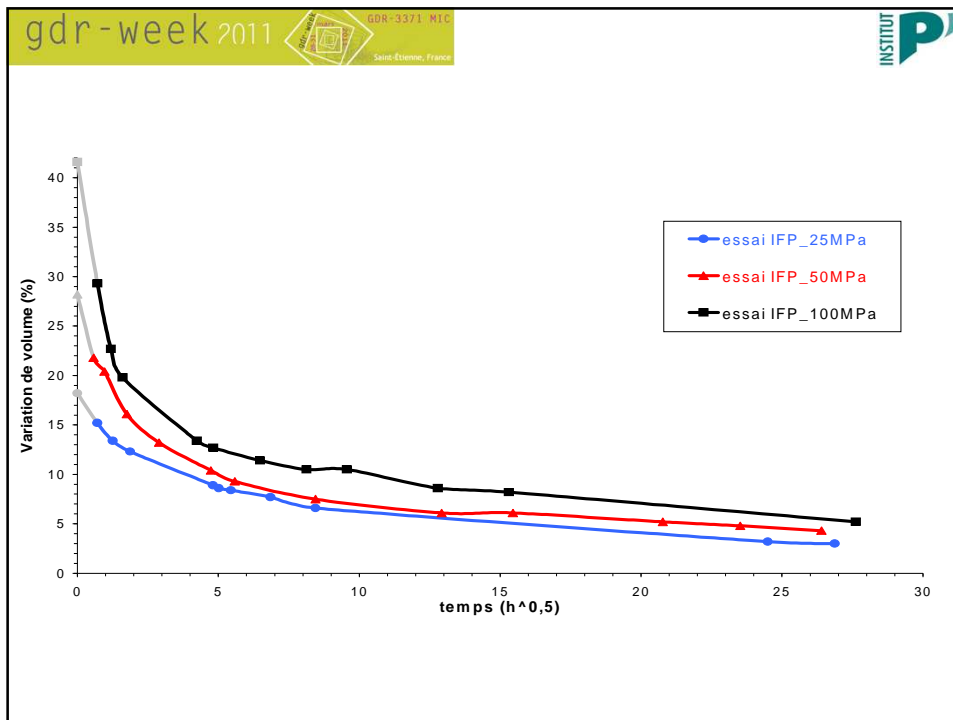
JARRIN J., DEWIMILLE B., DEVAUX E., MARTIN J., PIQUES R., *Blistering of thermoplastic materials used in the petroleum industry*, Society of Petroleum Engineers, SPE 28482, p. 203-214, 1994



KLOPFFER M.H., FLACONNECHE B., *Transport Properties of gases in polymers : Bibliographic review*, Oil & Gas Science and Technology - Rev. IFP, vol. 56, n° 3, p. 223-244, 2001

LIATSIS D., *Gas induced rupture of elastomers*, thèse, Imperial College, 1989

LORGE O., BRISCOE B.J., DANG P., *Gas induced damage in poly(vinylidene fluoride) exposed to decompression*, Polymer, vol. 40, p. 2981-2991, 1999

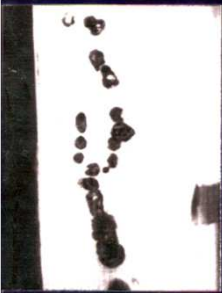





gdr-week 2011  Institut P' 

➤ Vitesse de décompression

Taux décompression faible (18 min):
Cloques (mm)



Taux décompression élevé (1 min):
Fissures (mm)



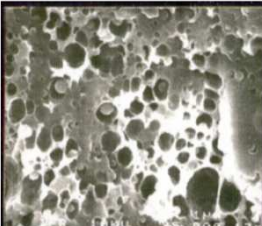
➤ Système gaz-polymère

Système : PE /CH₄-10 MPa, 100°C

Bilan : ENDOMMAGEMENT
résulte de COUPLAGES multiphysiques

Système: PVDF/CO₂-100 MPa, 140°C

Fortes vitesses de décompressions (< 1min):
Cavités (mm)

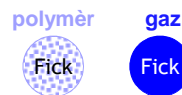
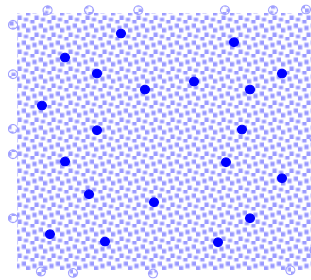


BRISCOE B.J., SAVVAS T., KELLY C.T., 'Explosive decompression failure' of rubbers : a review of the origins of pneumatic stress induced rupture in elastomers, Rubber Chemistry and Technology, vol. 67, 384-416, 1994

COUPLAGE THERMO - DIFFUSO MECANIQUE

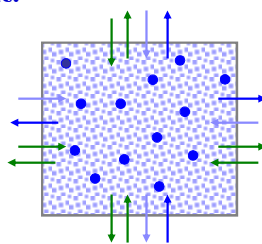
Mélange homogène : milieu à deux constituants

- V.E.R. : mélange de polymère et de gaz
 - continu
 - homogène
 - ouvert
 - chimiquement inerte
- diffusion moléculaire (type Fick)
 - i.e. pilotée par des gradients de concentration
- endommagement appréhendé par :
 - variables internes
- adapté aux amorphes



COUPLAGE THERMO - DIFFUSO MECANIQUE

Caractérisation du V.E.R.



- gaz -'g'
- polymère -'p'
- chaleur

- V.E.R. :
 - continu
 - **homogène**
 - **ouvert**
 - 2 constituants **chimiquement inertes**
- Diffusion moléculaire (loi de Fick)

COUPLAGE THERMO - DIFFUSO MECANIQUE

Equation de bilan de masse – équation de diffusion.

Relatif au gaz :

$$\underbrace{\rho}_{\text{densité du mélange}} \underbrace{s_g}_{\text{solubilité du gaz}} \frac{dc_g}{dt} = - \operatorname{div} \underbrace{\vec{J}_{m_g}}_{\text{flux relatif de masse gazeuse}}$$

variation temporelle intrinsèque
variation due au mouvement relatif du gaz

Par définition, localement :

$$\vec{J}_{m_p} = - \vec{J}_{m_g} \quad , \quad s_p \frac{dc_p}{dt} = - s_g \frac{dc_g}{dt} \dots \text{équations de diffusion liées}$$

COUPLAGE THERMO - DIFFUSO MECANIQUE

- Cadre des petites perturbations (déformations macroscopiques faibles < 10%)
- Les deux 1^{ers} principes avec :

- ◆ partition des déformations

$$\underline{\underline{\varepsilon}} = \underline{\underline{\varepsilon}}^e + \underline{\underline{\varepsilon}}^{in}$$

part élastique
part inélastique

Etat du système dépend des concentrations des espèces

- ◆ énergie libre spécifique
- ◆ (potentiel thermodynamique)

$$\Psi = \Psi(T, \underline{\underline{\varepsilon}}^e, \underbrace{c_g, c_p}_{\text{variables internes de type endommagement, plasticité ...}}, \underbrace{\xi_1 \dots \xi_n}_{\text{variables internes de type endommagement, plasticité ...}})$$

variables internes de type endommagement, plasticité ...

- ◆ hypothèse d'un paramétrage normal (milieux standard)

COUPLAGE THERMO - DIFFUSO MECANIQUE

Lois d'état

- ◆ tenseur des contraintes totales de Cauchy :

$$\underline{\underline{\sigma}} = \rho \left(\frac{\partial \Psi}{\partial \underline{\underline{\varepsilon}}^e} \right)_{T, c_i, \xi_j}$$

- ◆ affinité associée à la j^{ème} variable interne :

$$A_j = - \left(\frac{\partial \Psi}{\partial \xi_j} \right)_{T, \underline{\underline{\varepsilon}}^e, c_i, \xi_{k \neq j}}$$

- ◆ entropie spécifique :

$$S = - \left(\frac{\partial \Psi}{\partial T} \right)_{\underline{\underline{\varepsilon}}^e, c_i, \xi_j}$$

- ◆ potentiel chimique du i^{ème} constituant :

$$\mu_i = \frac{1}{s_i} \left(\frac{\partial \Psi}{\partial c_i} \right)_{T, \underline{\underline{\varepsilon}}^e, c_{k \neq i}, \xi_j}$$

COUPLAGE THERMO - DIFFUSO MECANIQUE

variation locale
de la température

Equation de la chaleur

$$\rho \left(\frac{dT}{dt} \right)_{\underline{\underline{\varepsilon}}^e, c_i, \xi_j} = - \operatorname{div} \vec{J}_q + r$$

effet classique
du flux et de la source
thermique

$$+ \underline{\underline{\sigma}} : \frac{d\underline{\underline{\varepsilon}}^{\text{in}}}{dt} + T \left(\frac{\partial \underline{\underline{\sigma}}}{\partial T} \right)_{\underline{\underline{\varepsilon}}^e, c_i, \xi_j} : \frac{d\underline{\underline{\varepsilon}}^e}{dt}$$

effet de la mécanique

$$+ \rho \left[T \left(\frac{\partial (\mu_g - \mu_p)}{\partial T} \right)_{\underline{\underline{\varepsilon}}^e, c_i, \xi_j} - (\mu_g - \mu_p) \right] s_g \frac{dc_g}{dt}$$

effet de la diffusion

$$- \sum_{j=1}^n \rho \left[T \left(\frac{\partial A_j}{\partial T} \right)_{\underline{\underline{\varepsilon}}^e, c_i, \xi_j} - A_j \right] \frac{d\xi_j}{dt}$$

effet des phénomènes
dissipatifs de type
endommagement...

COUPLAGE THERMO - DIFFUSO MECANIQUE

Dissipation

mécanique

liée au gradient thermique

liée au gradient
de potentiel
chimique

$$\underline{\underline{\sigma}} : \frac{d\underline{\underline{\varepsilon}}^{in}}{dt} + \sum_{j=1}^n \rho A_j \frac{d\xi_j}{dt} - \frac{1}{T} \left\{ \vec{J}_q - [\mu_g - \mu_p] \vec{J}_{m_g} \right\} \cdot \vec{\text{grad}} T - \vec{J}_{m_g} \cdot \vec{\text{grad}} [\mu_g - \mu_p] \geq 0$$

flux d'entropie

- ♦ potentiel dual de dissipation avec hypothèse de couplage plus ou moins forte

couplage fort - anisotropie $d^* = d^* (\underline{\underline{\sigma}}, \rho A_j, -\vec{\text{grad}} T, -\vec{\text{grad}} [\mu_g - \mu_p])$

*couplage partiel
principe de Curie -
isotropie* $d^* = d_1^* (\underline{\underline{\sigma}}, \rho A_j) + d_{2+3}^* (-\vec{\text{grad}} T, -\vec{\text{grad}} [\mu_g - \mu_p])$

‘ Un milieu isotrope ne peut être le siège de couplage entre flux et forces dont les ordres tensoriels diffèrent d'une unité ’

COUPLAGE THERMO - DIFFUSO MECANIQUE

Dissipation

mécanique

liée au gradient thermique

liée au gradient
de potentiel
chimique

$$\underline{\underline{\sigma}} : \frac{d\underline{\underline{\varepsilon}}^{in}}{dt} + \sum_{j=1}^n \rho A_j \frac{d\xi_j}{dt} - \frac{1}{T} \left\{ \vec{J}_q - [\mu_g - \mu_p] \vec{J}_{m_g} \right\} \cdot \vec{\text{grad}} T - \vec{J}_{m_g} \cdot \vec{\text{grad}} [\mu_g - \mu_p] \geq 0$$

- ♦ potentiel dual de dissipation avec hypothèse de couplage plus ou moins forte

*couplage fort -
anisotropie* $d^* = d^* (\underline{\underline{\sigma}}, \rho A_j, -\vec{\text{grad}} T, -\vec{\text{grad}} [\mu_g - \mu_p])$

*couplage partiel
principe de Curie -
isotropie* $d^* = d_1^* (\underline{\underline{\sigma}}, \rho A_j) + d_{2+3}^* (-\vec{\text{grad}} T, -\vec{\text{grad}} [\mu_g - \mu_p])$

découplage $d^* = d_1^* (\underline{\underline{\sigma}}, \rho A_j) + d_2^* (-\vec{\text{grad}} T) + d_3^* (-\vec{\text{grad}} [\mu_g - \mu_p])$

Lois d'évolution
couplées

- ♦ évolution de la déformation inélastique :

$$\frac{d\varepsilon^{\text{in}}}{dt} = \left(\frac{\partial d^*}{\partial \underline{\sigma}} \right)_{\rho A_j, -\vec{\text{grad}}T, -\vec{\text{grad}}[\mu_g - \mu_p]}$$

- ♦ évolution des variables internes

$$\frac{d\xi_j}{dt} = \left(\frac{\partial d^*}{\partial [\rho A_j]} \right)_{\underline{\sigma}, \rho A_{k \neq j}, -\vec{\text{grad}}T, -\vec{\text{grad}}[\mu_g - \mu_p]}$$

- ♦ flux thermique :

$$\vec{J}_q = T \left(\frac{\partial d^*}{\partial [-\vec{\text{grad}}T]} \right)_{\underline{\sigma}, \rho A_j, -\vec{\text{grad}}[\mu_g - \mu_p]} + [\mu_g - \mu_p] \vec{J}_{m_g}$$

- ♦ flux relatif de masse gazeuse :

$$\vec{J}_{m_g} = \left(\frac{\partial d^*}{\partial [-\vec{\text{grad}}(\mu_g - \mu_p)]} \right)_{\underline{\sigma}, \rho A_j, -\vec{\text{grad}}T}$$

Lois d'évolution
découplées

- ♦ évolution de la déformation inélastique :

$$\frac{d\varepsilon^{\text{in}}}{dt} = \left(\frac{\partial d_1^*}{\partial \underline{\sigma}} \right)_{\rho A_j}$$

Découplage total

$$d^* = d_1^*(\underline{\sigma}, \rho A_j) + d_2^*(-\vec{\text{grad}}T) + d_3^*(-\vec{\text{grad}}[\mu_g - \mu_p])$$

- ♦ évolution des variables internes

$$\frac{d\xi_j}{dt} = \left(\frac{\partial d_1^*}{\partial [\rho A_j]} \right)_{\underline{\sigma}, \rho A_{k \neq j}}$$

- ♦ flux thermique :

$$\vec{J}_q = T \left(\frac{\partial d_2^*}{\partial [-\vec{\text{grad}}T]} \right) + [\mu_g - \mu_p] \vec{J}_{m_g}$$

- ♦ flux relatif de masse gazeuse :

$$\vec{J}_{m_g} = \left(\frac{\partial d_3^*}{\partial [-\vec{\text{grad}}(\mu_g - \mu_p)]} \right)$$

- ♦ **évolution de la déformation inélastique :**

$$\frac{d\underline{\underline{\varepsilon}}^{\text{in}}}{dt} = \left(\frac{\partial d_1^*}{\partial \underline{\underline{\sigma}}} \right)_{\rho A_j} \quad \text{Découplage total}$$

- ♦ **évolution des variables internes**

$$\frac{d\underline{\underline{\xi}}_j}{dt} = \left(\frac{\partial d_1^*}{\partial [\rho A_j]} \right)_{\underline{\underline{\sigma}}, \rho A_{k \neq j}}$$

- ♦ **flux thermique :** Forme quadratique + isotropie + transfert thermique seul

$$\vec{J}_q = T k_T [-\text{grad} T] = \lambda [-\text{grad} T] \quad \text{Fourier}$$

- ♦ **flux relatif de masse gazeuse :** Forme quadratique + isotropie + diffusion seule

$$\vec{J}_{m_g} = k_\mu [-\text{grad}(\mu_g - \mu_p)] = D [-s_g \text{grad} c_g] \quad \text{Fick}$$

Etude qualitative des couplages en thermo-diffuso-élasticité

Modèle

➤ Mécanique

$$\text{div} \underline{\underline{\sigma}} + \rho \vec{f} = \vec{0} \quad , \quad \underline{\underline{\sigma}} = \underline{\underline{\sigma}}_0 + \lambda (\text{tr} \underline{\underline{\varepsilon}}^m) \underline{\underline{I}} + 2\mu \underline{\underline{\varepsilon}}^m$$

$$\underline{\underline{\varepsilon}} = \underline{\underline{\varepsilon}}_0 + \frac{1+\nu}{E} \underline{\underline{\sigma}} - \frac{\nu}{E} (\text{tr} \underline{\underline{\sigma}}) \underline{\underline{I}} + \alpha_T (T - T_0) \underline{\underline{I}} + \alpha_c s_g (c - c_0) \underline{\underline{I}}$$

➤ Diffusion

$$\rho s_g \frac{dc}{dt} = D \rho s_g \text{div}(\text{grad} c) - k_\mu \frac{K \alpha_c}{\rho} \text{div}(\text{grad} [\text{tr} \underline{\underline{\varepsilon}}]) + (c_{T\mu} - k_\mu \mathbf{d}) \text{div}(\text{grad} T)$$

notation : $c_g \equiv c$

➤ Thermique

$$\rho C_{\epsilon,c} \frac{dT}{dt} = [\lambda + (k_{\mu} \mathbf{d} - 2c_{T\mu}) \mathbf{d} \cdot \mathbf{T}] \operatorname{div}(\operatorname{grad} T) + r - K \alpha_T T \operatorname{tr} \underline{\underline{\dot{\epsilon}}}$$

$$- [k_{\mu} \mathbf{d} - c_{T\mu}] \frac{1}{k_{\mu}} \mathcal{D} \rho s_g T \operatorname{div}(\operatorname{grad} c) + [k_{\mu} \mathbf{d} - c_{T\mu}] \frac{K \alpha_c}{\rho} T \operatorname{div}(\operatorname{grad} [\operatorname{tr} \underline{\underline{\epsilon}}])$$

$$+ (k_{\mu} \mathbf{d} - 2c_{T\mu}) \mathbf{d} (\operatorname{grad} T)^2 + \frac{1}{k_{\mu}} (\mathcal{D} \rho s_g)^2 (\operatorname{grad} c)^2 + k_{\mu} \left[\frac{K \alpha_c}{\rho} \right]^2 (\operatorname{grad} [\operatorname{tr} \underline{\underline{\epsilon}}])^2$$

$$- 2 (k_{\mu} \mathbf{d} - c_{T\mu}) \frac{1}{k_{\mu}} \mathcal{D} \rho s_g \operatorname{grad} c \cdot \operatorname{grad} T + 2 [k_{\mu} \mathbf{d} - c_{T\mu}] \frac{K \alpha_c}{\rho} \operatorname{grad} [\operatorname{tr} \underline{\underline{\epsilon}}] \cdot \operatorname{grad} T$$

$$- 2 \frac{K \alpha_c}{\rho} \mathcal{D} \rho s_g \operatorname{grad} c \cdot \operatorname{grad} [\operatorname{tr} \underline{\underline{\epsilon}}]$$

12 coefficients dont 5 de couplage

ρ , $\underbrace{E, \nu}_{\lambda, \mu, K = 3\lambda + 2\mu}$, λ , $C_{\epsilon,c}$, α_T , \mathcal{D} , s_g , α_c , k_{μ} , \mathbf{d} , $c_{T\mu}$

Stratégie

Programmation d'UEL

Étude d'une structure test : tuyau

- cas découplé
 - prise en compte d'1 premier couplage
 - prise en compte d'1 second couplage
 - ...
- comparaison
comparaison

- définition du cas découplé : 1 coefficient ne peut PAS être annulé $k_\mu \rightarrow \infty$
- prise en compte du couplage 'diffusion-thermique' : k_μ
- prise en compte des couplages classiques : α_T , α_c
- prise en compte des couplages non classiques : \mathbf{d} , $C_{T\mu}$

physiquement acceptable

- conservation des effets 'classiques'
- limitation de la contribution des couplages (par choix <50%)

Implémentation dans Abaqus

- Problème transitoire : schéma d'intégration en temps géré par ABAQUS
- UEL : construction du vecteur résidu et de la matrice tangente élémentaires

formulation faible \Rightarrow discrétisation spatiale sur 1 élément avec 5 d.d.l.

$\{q_n\} = \{u_1, v_1, w_1, u_2, v_2, w_2 \dots u_n, v_n, w_n, T_1, T_2 \dots T_n, C_1, C_2 \dots C_n\}$

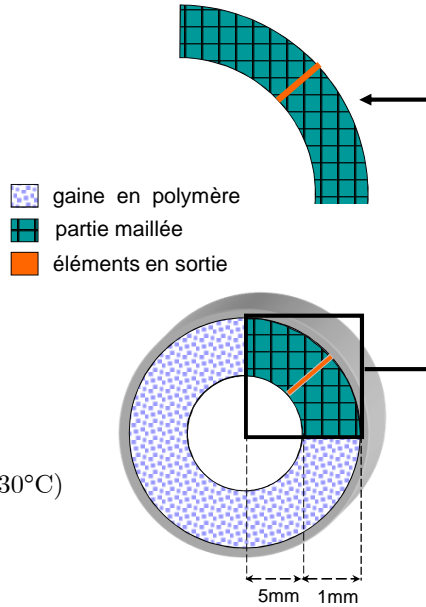
$$\Rightarrow \{F\}(\{\dot{q}_n\}, \{q_n\}) = \{0\} \text{ et } [K] = - \frac{\partial \{F\}}{\partial \{q_n\}} - \frac{1}{\Delta t} \frac{\partial \{F\}}{\partial \{\dot{q}_n\}} = \begin{bmatrix} \color{red}\blacksquare & \color{green}\blacksquare & \color{blue}\blacksquare \\ \color{green}\blacksquare & \color{red}\blacksquare & \color{blue}\blacksquare \\ \color{blue}\blacksquare & \color{blue}\blacksquare & \color{red}\blacksquare \end{bmatrix}$$

- Programmation d'éléments 2D et 3D
- Validation dans le cas :
 - ◆ découplé
 - ◆ couplé thermique-mécanique

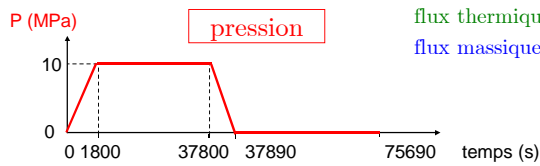
Etude du cas test

ρ	1745 kg/m ³
E	1743 MPa
ν	0,38
C	1045 J/kg ^o K
λ	0,26 W/m ^o K
α_T	10 ⁻⁵ °K ⁻¹
S_g	5,539.10 ³ Pa ⁻¹
\mathcal{D}	9,8.10 ⁻¹² m ² /s
α_c	2,2.10 ⁻¹³

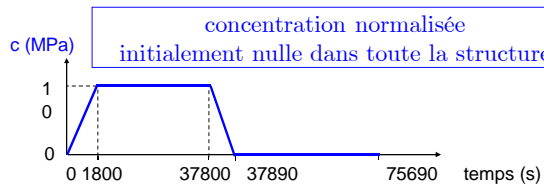
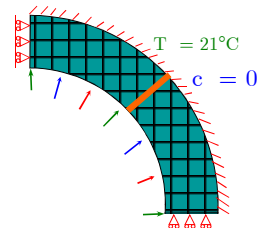
PVDF avec CO₂ vers 21°C (sauf α_c à 130°C)



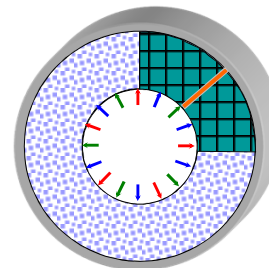
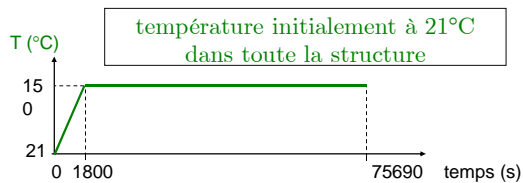
Etude du cas test



flux thermique nul
flux massique nul



flux thermique nul
flux massique nul



k_μ : effet de la diffusion sur la thermique

➤ Mécanique

$$\underline{\underline{\epsilon}} = \underline{\underline{\epsilon}}_0 + \frac{1+\nu}{E} \underline{\underline{\sigma}} - \frac{\nu}{E} (\text{tr} \underline{\underline{\sigma}}) \underline{\underline{I}}$$

➤ Diffusion

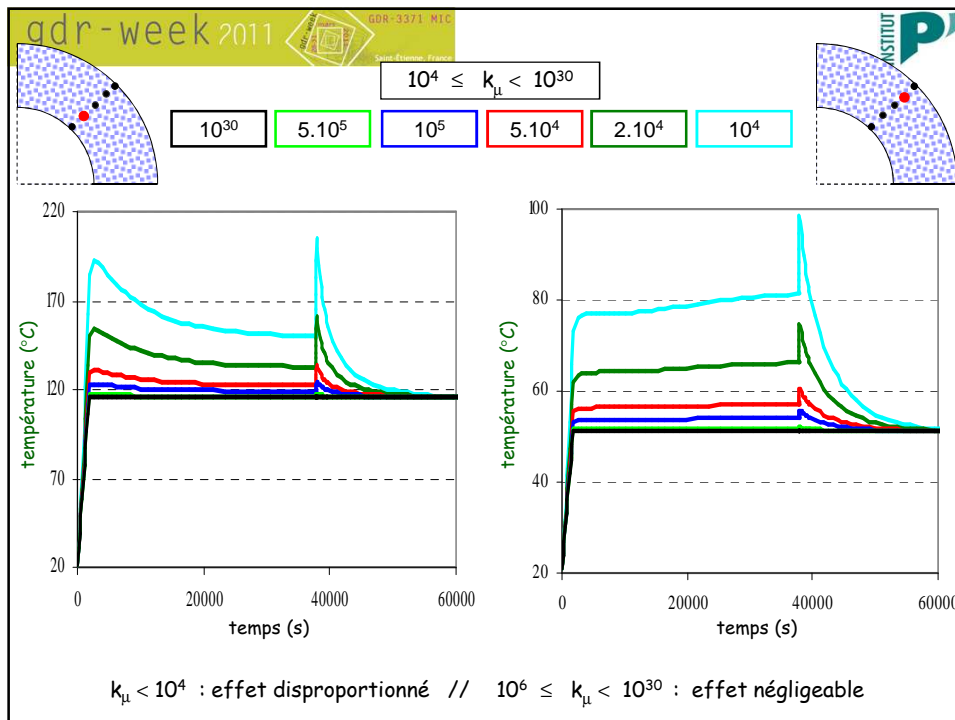
$$\rho s_g \frac{dc}{dt} = D \rho s_g \text{div}(\text{grad } c)$$

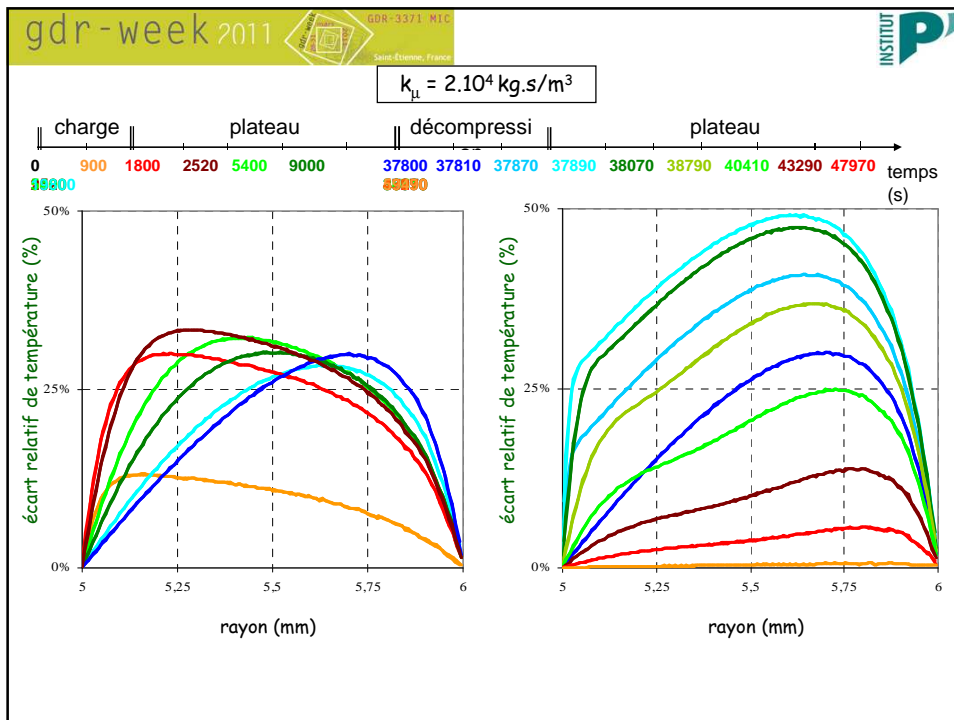
➤ Thermique

$$\rho C_{\epsilon,c} \frac{dT}{dt} = \lambda \text{div}(\text{grad } T) + r + \frac{1}{k_\mu} (D \rho s_g)^2 (\text{grad } c)^2$$

$\xrightarrow{k_\mu = 10^{30} \text{ kg.s/m}^3}$ 0 : cas découplé

Par définition : $k_\mu > 0 \Rightarrow$ augmentation locale de température du fait de la diffusion





gdr-week 2011 GDR-3371 MITC Saint-Étienne, France **INSTITUT P**

$k_\mu + \alpha_T$: prise en compte de la dilatation thermique

➤ Mécanique

$$\underline{\underline{\varepsilon}} = \underline{\underline{\varepsilon}}_0 + \frac{1+\nu}{E} \underline{\underline{\sigma}} - \frac{\nu}{E} (\text{tr} \underline{\underline{\sigma}}) \underline{\underline{I}} + \alpha_T (T - T_0) \underline{\underline{I}}$$

➤ Diffusion

$$\rho s_g \frac{dc}{dt} = D \rho s_g \text{div}(\text{grad } c)$$

➤ Thermique

$$\rho C_{\varepsilon,c} \frac{dT}{dt} = \lambda \text{div}(\text{grad } T) + r + \frac{1}{k_\mu} (D \rho s_g)^2 (\text{grad } c)^2 - K \alpha_T T \text{tr} \underline{\underline{\dot{\varepsilon}}}$$

effet négligeable pour le cas test simulé
(chargement lent)

$k_\mu + \alpha_T$: prise en compte de la dilatation thermique

➤ Mécanique

$$\underline{\underline{\varepsilon}} = \underline{\underline{\varepsilon}}_o + \frac{1+\nu}{E} \underline{\underline{\sigma}} - \frac{\nu}{E} (\text{tr} \underline{\underline{\sigma}}) \underline{\underline{I}} + \alpha_T (T - T_o) \underline{\underline{I}} + \alpha_c S_g (c - c_o) \underline{\underline{I}}$$

➤ Diffusion

$$\rho s_g \frac{dc}{dt} = \mathcal{D} \rho s_g \text{div}(\text{grad } c) - k_\mu \frac{K \alpha_c}{\rho} \text{div}(\text{grad} [\text{tr} \underline{\underline{\varepsilon}}]) \rightarrow \text{effet négligeable pour le cas test simulé}$$

➤ Thermique

$$\rho C_{\varepsilon,c} \frac{dT}{dt} = \lambda \text{div}(\text{grad } T) + r + \frac{1}{k_\mu} (\mathcal{D} \rho s_g)^2 (\text{grad } c)^2 - K \alpha_T T \text{tr} \dot{\underline{\underline{\varepsilon}}}$$

$$- 2 \frac{K \alpha_c}{\rho} \mathcal{D} \rho s_g \text{grad } c \cdot \text{grad} [\text{tr} \underline{\underline{\varepsilon}}] + k_\mu \left[\frac{K \alpha_c}{\rho} \right]^2 (\text{grad} [\text{tr} \underline{\underline{\varepsilon}}])^2$$

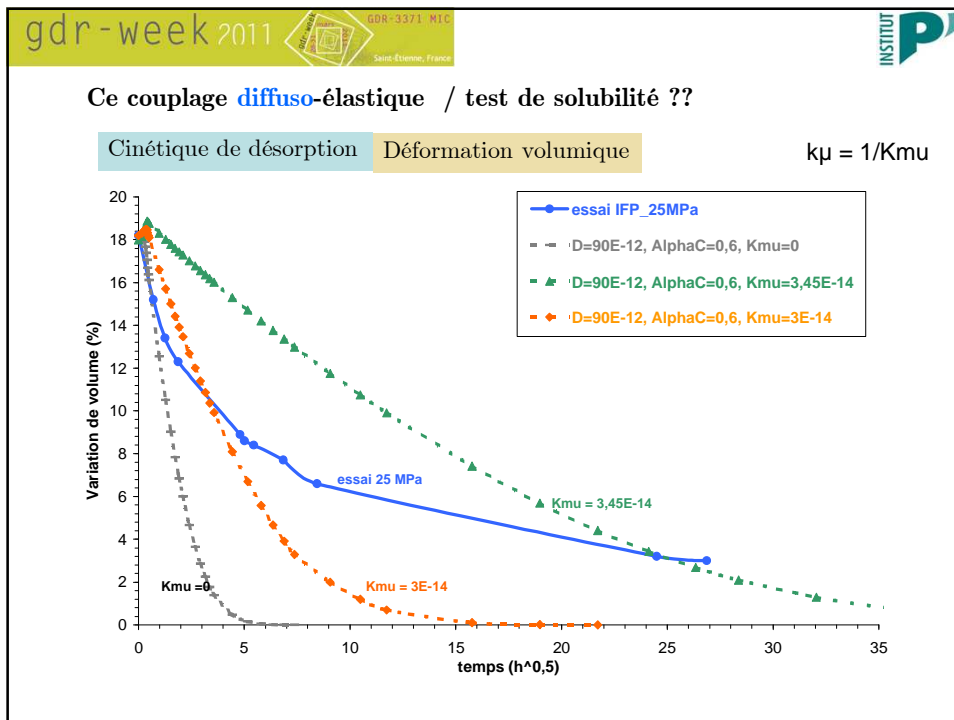
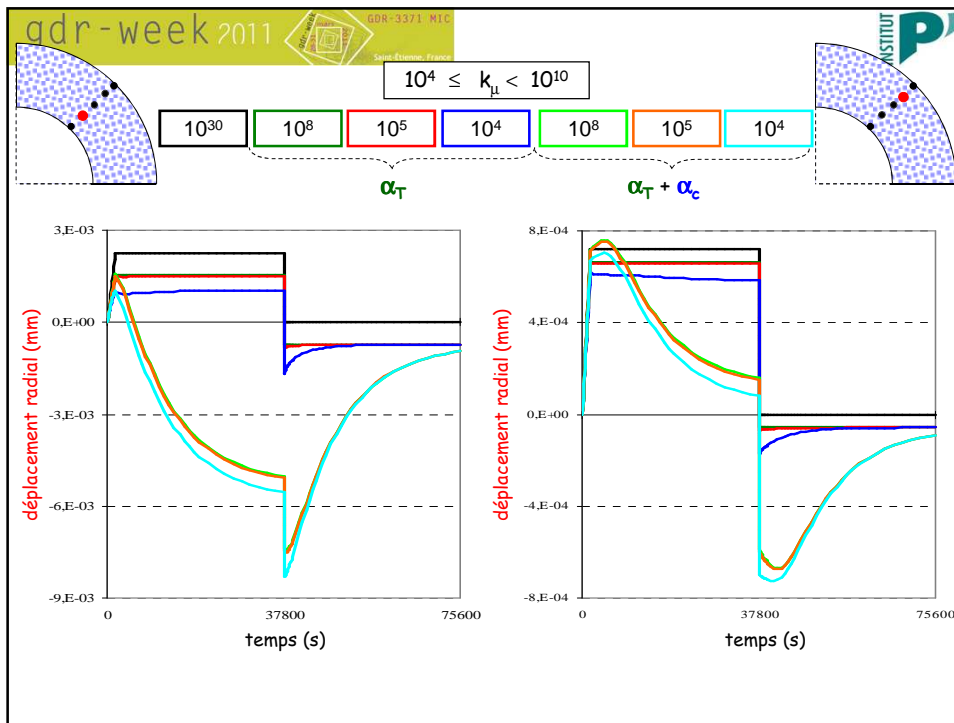
cas axisymétrique :

$$\text{grad} [\text{tr} \underline{\underline{\varepsilon}}] = \text{grad} [\text{tr} \underline{\underline{\varepsilon}}^T] + \text{grad} [\text{tr} \underline{\underline{\varepsilon}}^s] = 3 \alpha_T \text{grad } T + 3 \alpha_c s_g \text{grad } c$$

➤ Diffusion

$$\rho s_g \frac{dc}{dt} = \underbrace{[\mathcal{D} \rho - 3 k_\mu \alpha_c \frac{K \alpha_c}{\rho}]}_{\text{...}} s_g \text{div}(\text{grad } c) + \dots$$

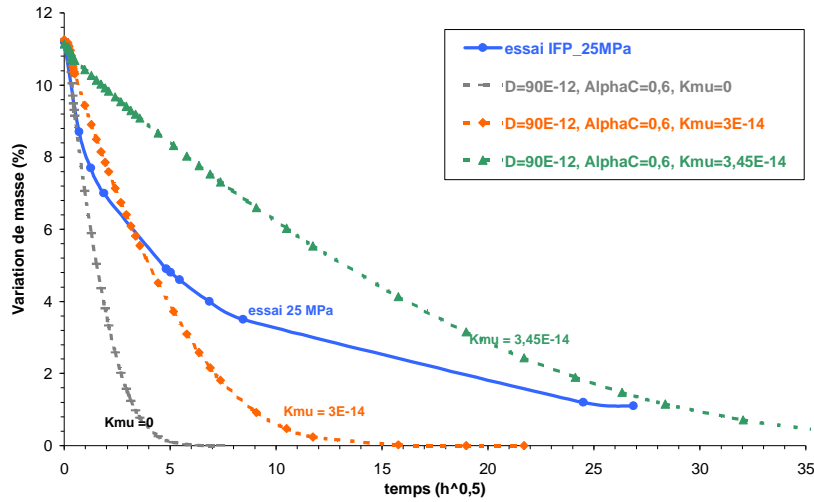
$$\mathcal{D} \rho - 3 k_\mu \alpha_c \frac{K \alpha_c}{\rho} > 0 \quad \text{et} \quad 3 k_\mu \alpha_c \frac{K \alpha_c}{\rho} < \frac{1}{2} \mathcal{D} \rho \quad \Rightarrow \quad 10^4 < k_\mu < 10^{10}$$



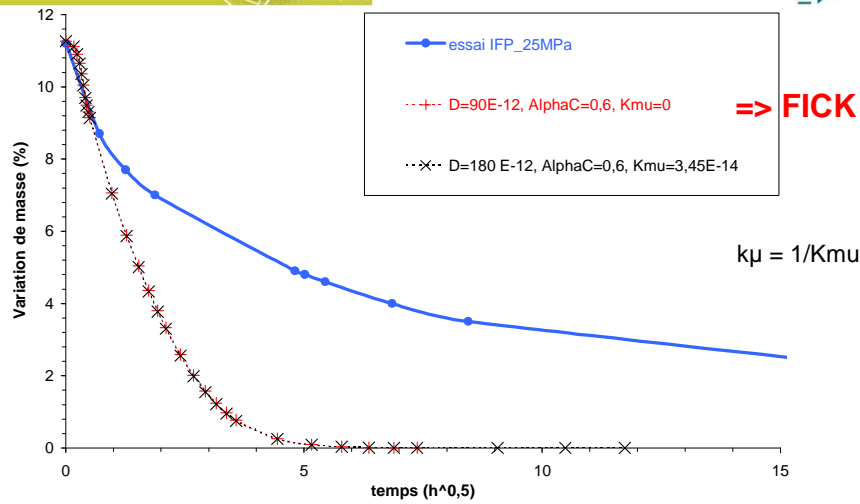
Ce couplage **diffuso-élastique** / test de solubilité ??

Cinétique de désorption Variation de masse

$k\mu = 1/K\mu$



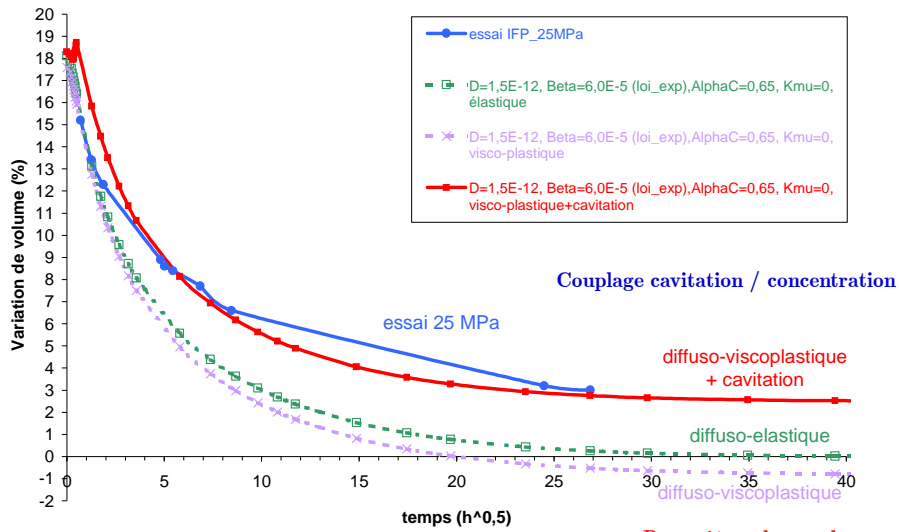
Couplage direct via α_c et k_μ pas prédictif / test de solubilité



Couplage avec le gradient de la déf. Vol. élastique

Non unicité D (loi Fick) $\Leftrightarrow D$ du couplage avec K_μ

→ SOULEVE la QUESTION de l'IDENTIFICATION du coefficient de DIFFUSION D



Cavitation commence pendant la décompression
-> atteint un maximum après $\cong 6,7h$ de désorption

Paramètres de couplage

$\alpha_s = 3$	$\alpha_s = 3$
$\alpha_s = 0$	$\alpha_s = 3$

TROISIEME VOLET

**COUPLAGE
CHIMICO DIFFUSO THERMO
MECANIQUE**

COMPOSITES TIEDES

Amélioration des structures
aéronautiques



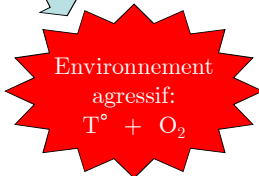
Matériaux composites
(plus de 50% en masse dans
A350XWB, A380 et B787)



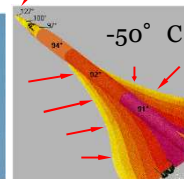
Conditions d'utilisation « extrêmes »



Chargement
mécanique,
impact...

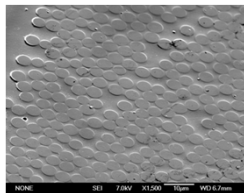


Zones « chaudes »

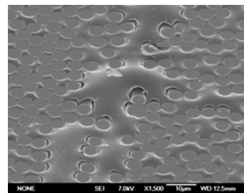


Cyclage thermique -50°C/180°C

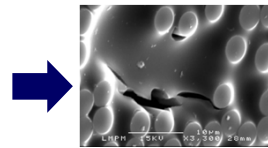
1000 cycles N₂



1000 cycles O₂



Lafarie-Frenot, *Intern. Journal of Fatigue*, vol. 28, 2006
Rouquie et al., *Comp. Sci. and Tech.*, vol. 65, 2005



- Vieillessement prématuré sous environnement oxydant
- Fort couplage entre état d'oxydation et chargement local

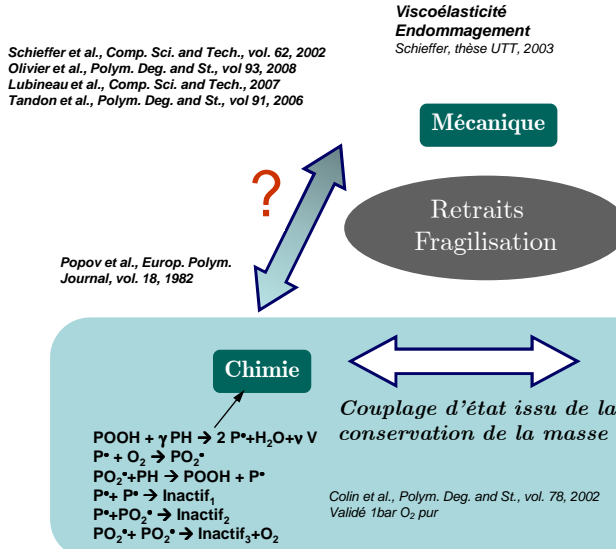
Retrait matriciel
Fragilisation interface
Ablation...



**Amorçage
endommagement**

Thèse L. Olivier - 2008
P'-ENSMA
M-C Lafarie & J-C Granddier

Quels sont les mécanismes et les interactions?



Modélisation de la réaction chimique: le schéma mécanistique

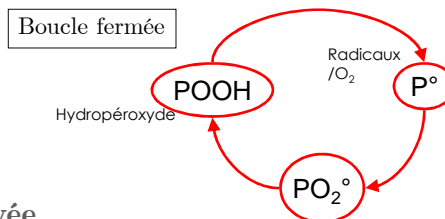
(I)	$POOH + \gamma PH \rightarrow 2 P^\bullet + H_2O + \nu V$	(k ₁) Amorçage
(II)	$P^\bullet + O_2 \rightarrow PO_2^\bullet$	(k ₂) Propagation
(III)	$PO_2^\bullet + PH \rightarrow POOH + P^\bullet$	(k ₃) Propagation
(IV)	$P^\bullet + P^\bullet \rightarrow \text{produits inactifs}$	(k ₄) Terminaison
(V)	$P^\bullet + PO_2^\bullet \rightarrow \text{produits inactifs}$	(k ₅) Terminaison
(VI)	$PO_2^\bullet + PO_2^\bullet \rightarrow \text{produits inactifs} + O_2$	(k ₆) Terminaison

Colin, X. - Verdu, J.,

Équations de

Diffusion - Oxydation

Chimie thermiquement activée



COUPLAGE CHIMICO DIFFUSO THERMO MECANIQUE

Comment Faire ???

Remarque

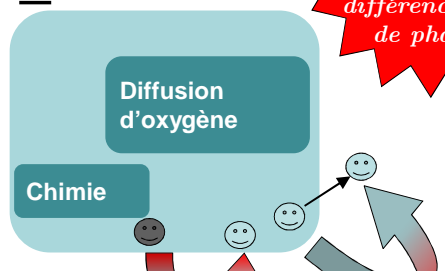
Oxydation - équivalent - Cuisson
Evolution chimique du matériau

EQUATIONS DE BILAN

Mécanique $\text{div } \underline{\underline{\sigma}} + \vec{f} = \rho \vec{\gamma}$

**Cinématique
Mélange**
-
*Pas de
différenciation
de phases*

Bilan de Masse



$$\rho \frac{\partial Y_i}{\partial t} = \underbrace{\sum_{r=1}^{n_r} v_{ir} M_i w_r}_{\text{Chimie}} - \text{div} \cdot \mathbf{J}_{mi}$$

CONTRAINTE / PARTITION des DEFORMATION

$$\underline{\underline{\mathbf{S}}}^s = \frac{1}{3} \text{tr} \underline{\underline{\mathbf{S}}} \underline{\underline{\mathbf{I}}} \quad \underline{\underline{\mathbf{S}}}^d = \underline{\underline{\mathbf{S}}} - \underline{\underline{\mathbf{S}}}^s$$

$$\underline{\underline{\mathbf{E}}}^s = \frac{1}{3} \text{tr} \underline{\underline{\mathbf{E}}} \underline{\underline{\mathbf{I}}} \quad \underline{\underline{\mathbf{E}}}^d = \underline{\underline{\mathbf{E}}} - \underline{\underline{\mathbf{E}}}^s$$

Sphérique Déviatorique

$$\underline{\underline{\mathbf{E}}} = \underline{\underline{\mathbf{E}}}^{\text{élas}} + \underline{\underline{\mathbf{E}}}^{\text{anelastique}} + \underline{\underline{\mathbf{E}}}^T + \underline{\underline{\mathbf{E}}}^H + \underline{\underline{\mathbf{E}}}^{SH}$$

Thermique Hydrique Chimie ...

ENTROPIE

$$\rho \frac{ds}{dt} = \frac{1}{T} \left(\underline{\underline{\mathbf{S}}} : \frac{d\underline{\underline{\mathbf{E}}}^{\text{an}}}{dt} - \text{Div} \vec{\mathbf{Q}} + r - \sum_{i=1}^{n_s} \mu_i \left(\sum_{r=1}^{n_r} v_{ir} M_i w_r - \text{Div} \vec{\mathbf{J}}_{mi} \right) + \rho \sum_{j=1}^{n_{iv}} A_j \frac{d\xi_j}{dt} \right)$$

Mécanique
Thermique
Chimie
Processus internes dissipatifs

$$\rho \frac{d_e s}{dt} = -\text{Div} \left(\frac{1}{T} (\vec{\mathbf{Q}} - \sum_{i=1}^{n_s} \mu_i \vec{\mathbf{J}}_{mi}) \right) + \frac{1}{T} r \quad \rightarrow \quad \text{Echange / extérieur}$$

$$\rho \frac{d_i s}{dt} = \underline{\underline{\mathbf{S}}} : \frac{d\underline{\underline{\mathbf{E}}}^{\text{an}}}{dt} + \vec{\mathbf{Q}} \cdot \text{Grad} \frac{1}{T} + \left(\frac{1}{T} \right) \sum_{r=1}^{n_r} A_r w_r - \sum_{i=1}^{n_s} \vec{\mathbf{J}}_{mi} \cdot \text{Grad} \frac{\mu_i}{T} + \rho \sum_{j=1}^{n_{iv}} A_j \frac{d\xi_j}{dt}$$

P. Germain, Q.S. Nguyen, P. Suquet, Continuum Thermodynamics, Journal of Applied Mechanics, 50 (1983) 1010-20.

$$A_r = - \sum_{k=1}^{n_s} v_{kr} M_k \mu_k = - \sum_{k=1}^{n_s} v_{kr} \mu_k^*$$

Entropie créée

LOIS D'EVOLUTION MULTIPHYSIQUE

Cas simplifié Elasto – Chimie

On laisse la température de coté

$$\vec{J}_s = \frac{1}{T} (\vec{Q} - \sum_{i=1}^{n_s} \mu_i \vec{J}_{mi})$$

$$\text{dissipation} : \Phi = - \vec{J}_s \cdot \text{Grad } T + \sum_{r=1}^{n_r} A_r w_r - \sum_{i=1}^{n_s} \vec{J}_{mi} \cdot \text{Grad } \mu_i$$

Thermique

Chimie

$$\Phi = \mathbf{y} \cdot \dot{\mathbf{z}} \geq 0 \quad \mathbf{y} = \frac{\partial D}{\partial \dot{\mathbf{z}}} \quad \dot{\mathbf{z}} = \frac{\partial D^*}{\partial \mathbf{y}}$$

Force

Flux

$$D = D(\vec{J}_s, w_r, \vec{J}_{mi}) \quad \text{Potentiel + conditions} \\ > \text{Second principe}$$

$$D^* = D^*(-\text{Grad}T, A_r, -\text{Grad } \mu_i)$$

Un EXEMPLE COUPLE - Proche de l'EQUILIBRE -

$$D^* = \frac{1}{2} (-\text{Grad}T) \cdot \mathbf{B}_T(\text{tr}\underline{\mathbf{E}}, E^*) \cdot (-\text{Grad}T) + \frac{1}{2} \sum_{r=1}^{n_r} B_r(\text{tr}\underline{\mathbf{E}}, E^*) A_r^2 + \\ + \frac{1}{2} \sum_{i=1}^{n_s} (-\text{Grad}\mu_i) \mathbf{B}_{\mu_i}(\text{tr}\underline{\mathbf{E}}, E^*) \cdot (-\text{Grad}\mu_i) + \sum_{i=1}^{n_s-1} \sum_{j=1}^{n_s} (-\text{Grad}\mu_i) \mathbf{C}_{\mu_{ij}}(\text{tr}\underline{\mathbf{E}}, E^*) \cdot (-\text{Grad}\mu_j)$$

$$E^* = \underline{\mathbf{E}}^d : \underline{\mathbf{E}}^d \quad \text{Potentiel dual de dissipation couplé quadratique}$$

$$w_r = \frac{\partial D^*}{\partial A_r} = B_r(\text{tr}\underline{\mathbf{E}}, E^*) A_r = -B_r(\text{tr}\underline{\mathbf{E}}, E^*) \sum_{k=1}^{n_s} \nu_{kr} M_k \mu_k = -B_r(\text{tr}\underline{\mathbf{E}}, E^*) \sum_{k=1}^{n_s} \nu_{kr} \mu_k^*$$

Vitesse de réaction

Mécanique

$$\vec{J}_{mi} = \frac{\partial D^*}{\partial (-\text{Grad}\mu_i)} = -\mathbf{B}_{\mu_i}(\text{tr}\underline{\mathbf{E}}, E^*) \cdot \text{Grad } \mu_i - \mathbf{C}_{\mu_{ij}}(\text{tr}\underline{\mathbf{E}}, E^*) \cdot (-\text{Grad } \mu_j)$$

Diffusion Inter - Diffusion

EQUATION DIFFUSION-REACTION MULTI COMPOSANTS en MELANGE PARFAIT

$$\frac{\partial Y_i^*}{dt} = \sum_{r=1}^{n_r} v_{ir} (B_r(\underline{\text{tr}}\underline{\mathbf{E}}, E^*) A_r) - \frac{1}{M_i} \text{Div} \left(- \frac{\mathbf{B}_{\mu i}(\underline{\text{tr}}\underline{\mathbf{E}}, E^*)}{M_i} \text{Grad } \mu_i^* \right) - \frac{1}{M_i} \text{Div} \left(- \frac{\mathbf{C}_{\mu ij}(\underline{\text{tr}}\underline{\mathbf{E}}, E^*)}{M_i} \text{Grad } \mu_j^* \right)$$

**Création
Destruction
De l'Espèce**

**Diffusion
de l'espèce**

**Intéraction diffusif
de l'espèce avec
les autres constituants du
mélange**

$$\frac{\partial Y_i^*}{dt} = \sum_{r=1}^{n_r} v_{ir} [-B_r(\underline{\text{tr}}\underline{\mathbf{E}}, E^*) \sum_{k=1}^{n_s} v_{kr} \mu_k^*] - \frac{1}{M_i} \text{Div} \left(- \frac{\mathbf{B}_{\mu i}(\underline{\text{tr}}\underline{\mathbf{E}}, E^*)}{M_i} \text{Grad } \mu_i^* \right) - \frac{1}{M_i} \text{Div} \left(- \frac{\mathbf{C}_{\mu ij}(\underline{\text{tr}}\underline{\mathbf{E}}, E^*)}{M_i} \text{Grad } \mu_j^* \right)$$

Expression uniquement Fonction des potentiels chimique

LOIS D'ETAT (cas simplifié elasto chimie)

$$\Psi(\underline{\text{tr}}\underline{\mathbf{E}}, \underline{\mathbf{E}}^d, Y_i^*) = \frac{1}{\rho} \left(\frac{3}{2} K (\underline{\text{tr}}\underline{\mathbf{E}})^2 + G(Q(Y_i^*)) E^* \right) +$$

Mécanique

$$\sum_{i=1}^{n_s} \frac{1}{\rho} (C_i \underline{\text{tr}}\underline{\mathbf{E}} Y_i^*) \quad \text{Couplage / changement de vol.}$$

Potentiel chimique

$$\sum_{i=1}^{n_s} \frac{1}{\rho} (\alpha_i(\underline{\text{tr}}\underline{\mathbf{E}}, E^*) RT (Y_i^* (\ln(Y_i^*/Y_i^{*0}) - 1)) + \mu_i^{0*} Y_i^*)$$



Diffusion

LOIS D'ETAT COUPLEES UN EXEMPLE

Changement de volume avec
Changement du mélange

$$tr\underline{S} = \frac{\partial p \psi}{\partial tr\underline{E}} = 3K tr\underline{E} + \sum_{i=1}^{n_s} \left(\frac{\partial \alpha_i(tr\underline{E}, E^*)}{\partial tr\underline{E}} RT (Y_i^* (\ln(Y_i^*) - 1)) + C_i Y_i^* \right)$$

$$\underline{S}^d = \frac{\partial p \psi}{\partial \underline{E}^d} = 2G(Q(Y_i^*)) \underline{E}^d + \sum_{i=1}^{n_s} \left(\frac{\partial \alpha_i(tr\underline{E}, E^*)}{\partial E^*} RT (Y_i^* (\ln(Y_i^*) - 1)) \right) \underline{E}^d$$

Dépendances des paramètres
d'un mélange changeant

LOIS D'ETAT COUPLEES UN EXEMPLE

$$\mu_i^* = \frac{\partial p \psi}{\partial Y_i^*} = \frac{\partial G(Q(Y_i^*))}{\partial Y_i^*} E^* + C_i tr\underline{E} + \alpha_i(tr\underline{E}, E^*) RT \ln Y_i^* + \mu_i^{0*}$$

Dépendances des paramètres
d'un mélange changeant
Vient du couplage avec la méca

Partie classique
➤ Fick (par dév. limitée)
➤ Henry au bord

Force de réaction

Dépendance de la méca ?

$$A_r = - \sum_{k=1}^{n_s} \nu_{kr} \mu_k^* = - \sum_{k=1}^{n_s} \nu_{kr} \left(\frac{\partial G(Q(Y_k^*))}{\partial Y_k^*} E^* + C_k tr\underline{E} + \alpha_k(tr\underline{E}, E^*) RT \ln Y_k^* + \mu_k^{0*} \right)$$

EQUATION DE DIFFUSION-REACTION couplée

$$\frac{\partial Y_i^*}{\partial t} = \sum_{r=1}^{n_r} v_{ir} [-B_r(\underline{trE}, E^*) \sum_{k=1}^{n_s} v_{kr} \left(\frac{\partial G(Q(Y_k^*))}{\partial Y_k^*} E^* + C_k \underline{trE} + \alpha_k(\underline{trE}, E^*) RT \ln Y_k^* + \mu^{0*}_k \right)]$$

PARTIE REACTION

$$-\frac{1}{M_i} \text{Div} \left\{ -\frac{\mathbf{B}_{\mu_i} \alpha_i(\underline{trE}, E^*)}{M_i} \cdot \text{Grad} \left[\frac{\partial G(Q(Y_i^*))}{\partial Y_i^*} E^* + C_i \underline{trE} + \alpha_i(\underline{trE}, E^*) RT \ln Y_i^* + \mu^{0*}_i \right] \right\}$$

PARTIE DIFFUSION

$$-\frac{1}{M_i} \text{Div} \left\{ -\frac{\mathbf{C}_{\mu_{ij}} \alpha_i(\underline{trE}, E^*)}{M_i} \text{Grad} \left[\frac{\partial G(Q(Y_j^*))}{\partial Y_j^*} E^* + C_j \underline{trE} + \alpha_j(\underline{trE}, E^*) RT \ln Y_j^* + \mu^{0*}_j \right] \right\}$$

PARTIE INTER DIFFUSION

CONDITIONS AUX LIMITES

Un exemple

Une espèce à l'extérieur sous forme de gaz à une pression p

$$\mu_g^* = \mu_g^{0*} + RT \ln(p/p^0)$$

EGALITE A L'INTERFACE (Equilibre local)

Une espèce à l'intérieur sous quelle forme ???

$$\mu_{is}^* = \frac{\partial G(Q(Y_{is}^*))}{\partial Y_{is}^*} E^* + C_{is} \underline{trE} + \alpha_{is}(\underline{trE}, E^*) RT \ln(Y_{is}^*/Y_{is}^{*0}) + \mu_{is}^{0*}$$

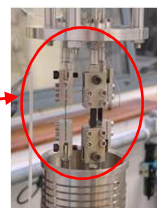
Sans couplage LOI d'HENRY (Solubilité)

COUPLAGE CHIMICO DIFFUSO THERMO MECANIQUE

On a vu comment élaborer un
modèle

Comment l'identifier ???

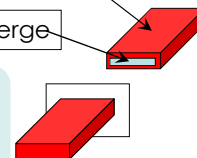
- **Matériau:** résine époxy 977-2 polymérisée selon le cycle de fabrication des échantillons composites



Couche oxydée

Cœur vierge

Eprouvette
parallélépipédique
oxydée



Caractéristiques Techniques

- Température → 200° C
- Pression → 10 bars
- Elongation max → 20 mm (*constant*)
- Chargement → 5 kN
- Environnement: N₂, O₂, Air atmo...

Mesures
UMI,DMA...

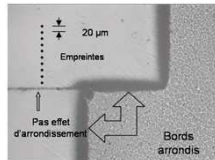
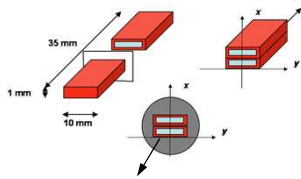


Oxydation – Gradient de propriétés

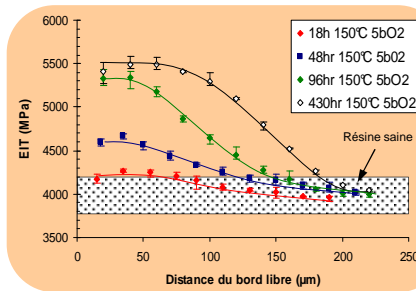
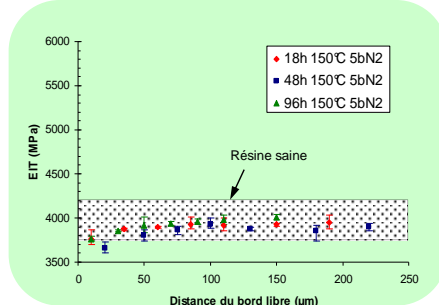
Etude locale: Ultra Micro Indentation
Technique Résonante Dynamique



5 bars
N₂



5 bars
O₂



Modélisation numérique du GRADIENT

Modèle de Base : Chimie (travaux ENSAM de Colin et Verdu) Diffusion de Fick

$$\frac{d[O_2]}{dt} = -k_2[P^\bullet][O_2] + k_6[PO_2^\bullet]^2 + D_{O_2} \text{div grad}[O_2]$$

$$\frac{d[POOH]}{dt} = k_3[PH][PO_2^\bullet] - k_1[POOH]$$

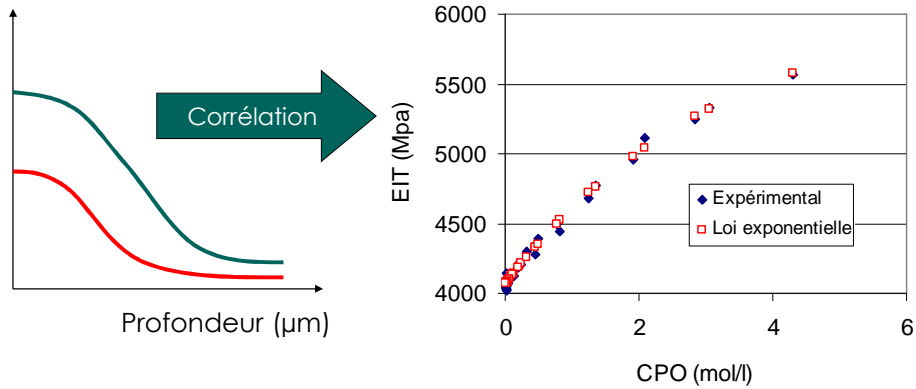
$$\frac{d[PH]}{dt} = -k_3[PH][PO_2^\bullet] - \gamma k_1[POOH]$$

$$\frac{d[PO_2^\bullet]}{dt} = k_2[P^\bullet][O_2] - k_3[PH][PO_2^\bullet] - k_5[PO_2^\bullet][P^\bullet] - 2k_6[PO_2^\bullet]^2$$

$$\frac{d[P^\bullet]}{dt} = 2k_1[POOH] - k_2[O_2][P^\bullet] + k_3[PH][PO_2^\bullet] - 2k_4[P^\bullet]^2 - k_5[P^\bullet][PO_2^\bullet]$$

Lois d'Henry au bord (loi linéaire)

EIT (MPa) Module d'indentation
 → expérimental (ultra-μ-indentation)
Concentration en Produits d'Oxydation (Mol/L) CPO
 → Numérique (modèle ENSAM)

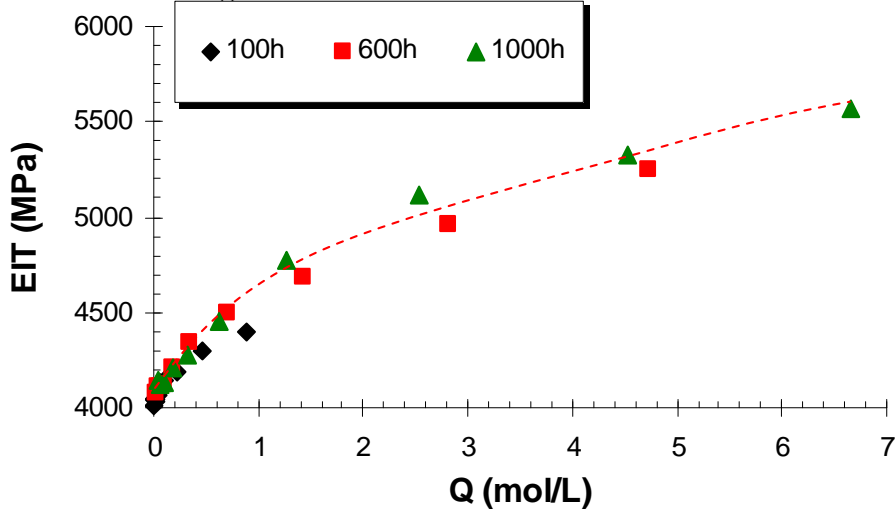


Loi de comportement couplée

$$\text{trS} = \frac{\partial \rho \psi}{\partial \text{trE}} = 3K \text{trE} + \sum_{i=1}^{n_1} \left(\frac{\partial \alpha_i(\text{trE}, E^*)}{\partial \text{trE}} \text{RT} (Y_i^* (\ln(Y_i^*) - 1)) + C_i Y_i^* \right)$$

→ Dépendance de Q

$$\text{S}^d = \frac{\partial \rho \psi}{\partial E^d} = 2G(Q(Y_i^*)) E^d + \sum_{i=1}^{n_1} \left(\frac{\partial \alpha_i(\text{trE}, E^*)}{\partial E^d} \text{RT} (Y_i^* (\ln(Y_i^*) - 1)) \right) E^d$$



EIT module d'indentation
Q produits d'oxydation

$$EIT = 5510 - 1469 e^{-0.48Q}$$

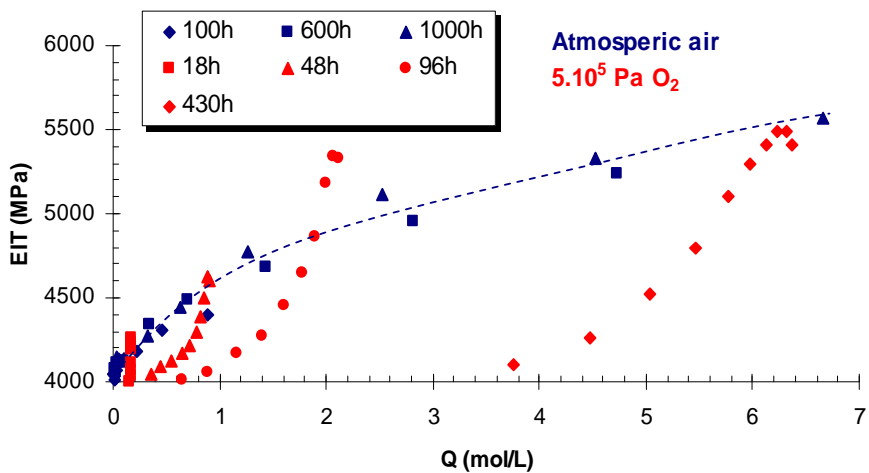
Loi sur G_v
 K_v constant



La LOI vient d'UNE Corrélation

- ESSAIS
- MODELE !!!

Si on change de pression ????

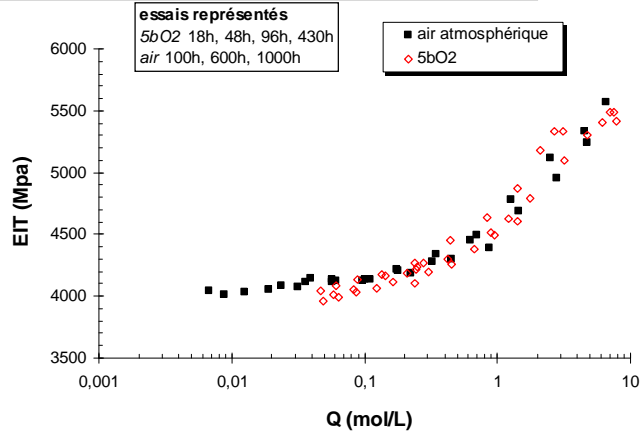


Le modèle couplé n'est correct ????

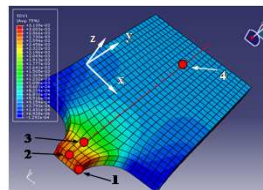
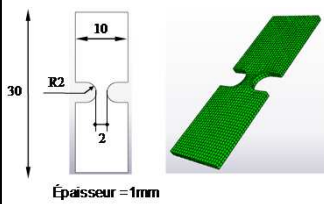
Définition du potentiel chimique de l'oxygène :

$$\begin{cases} \mu_{O_2}^{gas} = \mu^0(P^0, T) + RT \ln \frac{P_{O_2}}{P^0}, \text{ unchanged} \\ \mu_{O_2}^{dis} = \mu^0(P^0, T) + \alpha \cdot ([O_2] - [O_2]^0), \text{ linearized} \end{cases}$$

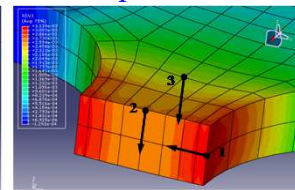
Nouvelle loi de SORPTION : $[O_2] = [O_2]^0 + \frac{RT}{\alpha} \ln \frac{P_{O_2}}{P^0}$



Etude du couplage (direct) mécanique → diffusion



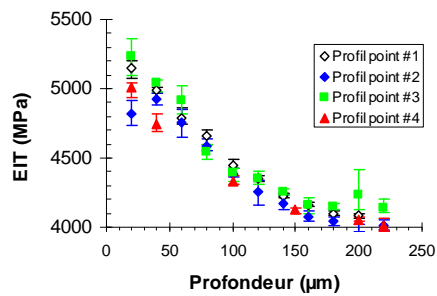
Champ de trε



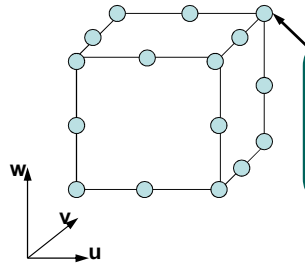
Caractérisation du profil d'oxydation

48h, 5bO2, relaxation à 70% $\sigma_{rupture}$

Influence négligeable du couplage



Implantation dans ABAQUS



$u, v, w, [O_2]$

Viscoélasticité
[POOH]
[PH]...

Quadratique déplacement
Linéaire diffusion

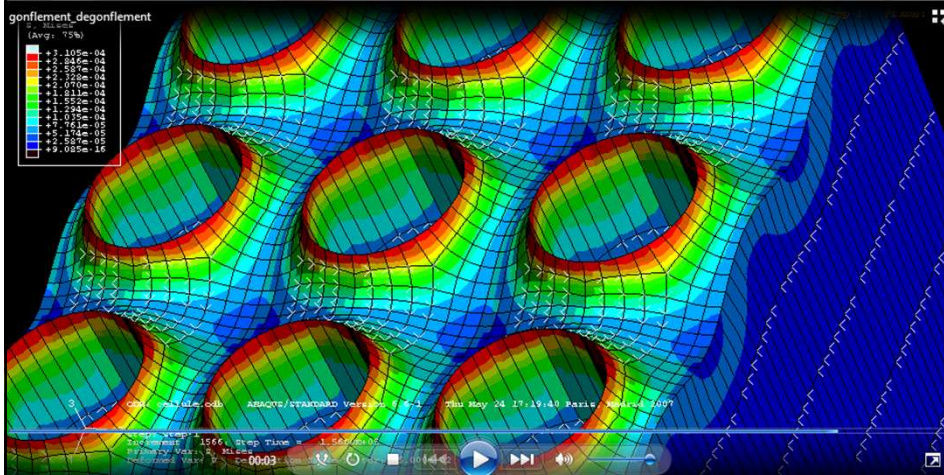
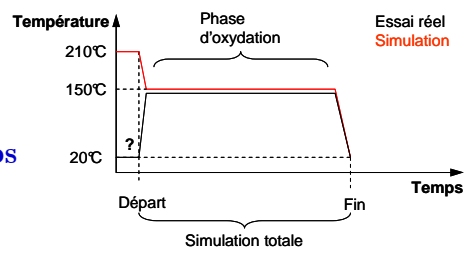
Diffusion
+ chimie
+ viscoélasticité

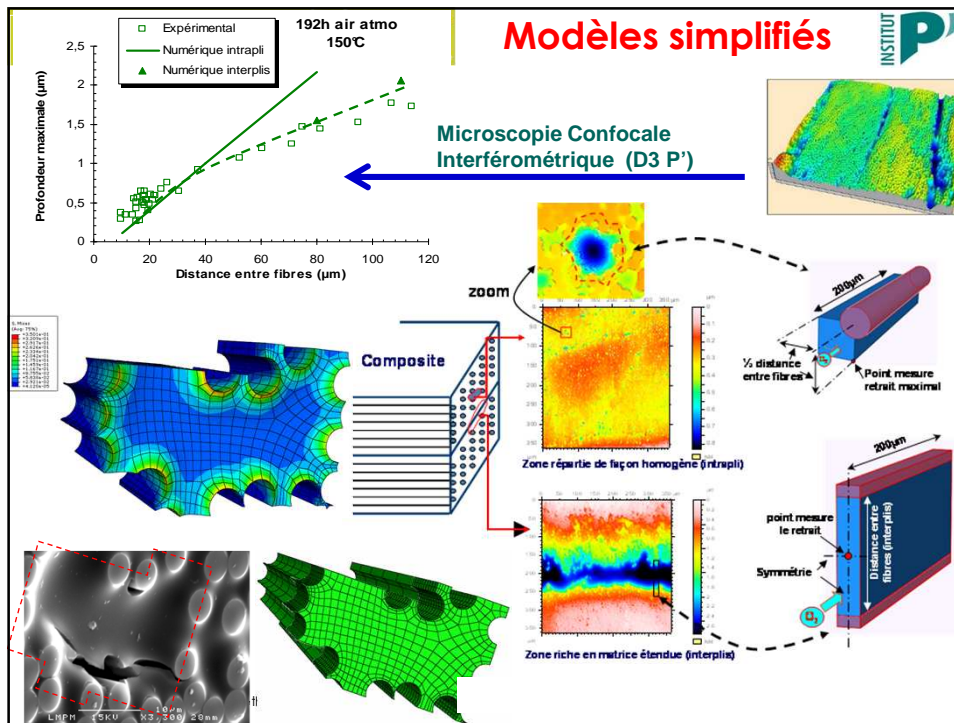
Deux échelles de temps

DIFFUSION \Rightarrow Pas de tps
ABAQUS

Équations chimie 2nd Pas de tps

Simulation de la thermo-oxydation





CONCLUSION

- Outils pour construire les lois sont CLASSIQUES
 - Choisir sa cinématique (ce n'est pas anodin)
 - / chimie > il nous faut les chimistes
 - On envisage les couplages / à la cinématique
 - On teste les hypothèses expérimentalement
- **Caractérisations / Identifications**
 - **Sous gradient et transitoire**
 - **Boucle essais –modèle simulation est Extrêmement INTIME**
- **Essais spécifiques**
 - **Mesures locales pour appréhender les gradients**

Merci à

- Christian Jochum
- Laurent Cangémi – Yves Meimon (IFP)
- Marie Hélène Klopffer (IFP)
- Sylvie Castagnet – Annette Roy – J-Louis Gacougnole
- Marie Christine Lafarie - Marco Gigliotti
- Marianne Beringhier - Laurence Chocinski
- Equipe IT Mikaël Gueguen

- Les Doctorants qui ont souffert
- Gaëlle Rambert – Guilhem Jugla – Claudine Valançon - Cédric Baudet – Nhat-Quang Ho – Loïc Olivier – Romain Léger – Njaramalala Rabearison – Tuan_Linh_Nguyen – Benoit Gentilleau – Julien Jaravel
- HO Minh Trung

Quelques thèmes abordés à Pprime

- **Cuisson des composite / défauts Cont Int**
 - Chimie thermo mécanique (ENSIETA)
- **Décompression explosive** (IFP – CETIM - AL)
 - Diffuso thermo méca semi cristallin
 - Diffuso thermo méca elastomère
- **Vieillessement thermo hydrique des polymères et des assemblages collés** (Critt MPC)
- **Composites tièdes** (EADS)
 - Oxydation diffuso mécanique (endo.)
- **Fuselage composite** (AIRBUS)
 - Electro thermo mécanique (fatigue)
- **Réservoirs bobinés** (CEA Le Ripault – AL)
 - Thermo mécanique en fatigue
 - Diffuso mécanique
- **Pile à Hydrogène PEMFC**
 - Electro thermo hydro mécanique